

МІНІСТЕРСТВО ОСВІТИ І НАУКИ УКРАЇНИ
ЧЕРНІГІВСЬКИЙ НАЦІОНАЛЬНИЙ ТЕХНОЛОГІЧНИЙ УНІВЕРСИТЕТ

ЕЛЕКТРИКА і МАГНЕТИЗМ

Розв'язання задач з фізики

МЕТОДИЧНІ ВКАЗІВКИ

до практичних занять, виконання розрахунково-графічних робіт
та самостійної роботи з фізики для студентів технічних спеціальностей
денної та заочної форм навчання

Обговорено і рекомендовано на засіданні
кафедри інформаційно-вимірювальних
технологій, метрології та фізики,
протокол №4 від 19.11.13 р.

Чернігів ЧНТУ 2014

Електрика і магнетизм. Розв'язання задач з фізики. Методичні вказівки до практичних занять, виконання розрахунково-графічних робіт та самостійної роботи з фізики для студентів технічних спеціальностей денної та заочної форм навчання /Укл.: Ушаков В.Г., Тепла Т.М. – Чернігів: ЧНТУ, 2014. – 44 с.

Укладачі: Ушаков Віктор Григорович, кандидат технічних наук,
старший викладач;
Тепла Тетяна Мирославна, асистент

Відповідальний за випуск: Приступа А. Л., завідувач кафедри інформаційно-вимірювальних технологій, метрології та фізики, кандидат технічних наук, доцент

Рецензент: Красножон А. В., кандидат технічних наук, старший викладач кафедри електричних систем і мереж Чернігівського національного технологічного університету

ЗМІСТ

Вступ	4
1. Загальні вимоги до виконання розрахунково-графічних робіт	4
2. Приклади розв’язання задач	6
2.1 Принцип суперпозиції.....	6
2.2 Електричний дипольний момент.....	7
2.3 Еквіпотенціальна поверхня.....	10
2.4 Напруженість і потенціал електричного поля.....	11
2.5 Рівняння Пуассона.....	13
2.6 Потік вектора E через бічну поверхню циліндра.....	13
2.7 Теорема Гауса. Поле зарядженої кулі.....	15
2.8 Рух заряджених частинок у електричному полі.....	18
2.9 Електричний струм. Закон Ома.....	20
2.10 Електричний струм. Закони постійного струму	22
2.11 Електричний струм. Закон Джоуля – Ленца	23
2.12 Закон Біо – Савара – Лапласа. Магнітне поле лінійного струму.....	25
2.13 Закон Біо – Савара – Лапласа. Магнітне поле кругового струму.....	26
2.14 Взаємозв’язок магнітного та електричного полів.....	28
2.15 Магнітний момент	31
2.16 Магнітний потік.....	32
2.17 Електромагнітна індукція	33
2.18 Закон електромагнітної індукції. Закон Джоуля – Ленца	35
2.19 Самоіндукція. Перехідний процес	36
2.20 Застосування закону збереження енергії.....	37
3. Завдання для самоконтролю	41
Рекомендована література	43
Додаток А – Зразок оформлення титульної сторінки розрахункової роботи	44

Вступ

У даних методичних вказівках наведені рекомендації для студентів технічних спеціальностей денної та заочної форм навчання щодо розв'язування задач з розділу «Електрика та магнетизм» курсу фізики під час самостійної роботи, при підготовці до практичних занять та виконання розрахунково-графічних робіт.

У *першому* розділі методичних вказівок містяться загальні вимоги і правила оформлення звітів про виконання лабораторних та розрахунково-графічних робіт згідно з ДСТУ 3008-95 (Документація. Звіти у сфері науки і техніки. Структура і правила оформлення).

В *другому* розділі наведені приклади розв'язування задач з розділів електростатика, постійний електричний струм, рух заряджених частинок у електричному та магнітному полях, магнітостатика, електромагнітна індукція, енергія електромагнітного поля. Розглянуто застосування методів диференціального та інтегрального числення для розв'язування конкретних фізичних задач, а також сформульовано загальні рекомендації, які полегшують пошуки та реалізацію шляхів розв'язку.

У *третьому* розділі методичних вказівок запропоновані задачі для самоконтролю.

1. Загальні вимоги до виконання розрахунково-графічних робіт

Виконання розрахунково-графічних робіт з фізики передбачено відповідними робочими навчальними програмами підготовки студентів інженерних спеціальностей.

Розрахунково-графічні роботи передбачені в кожному навчальному семестрі і виконуються студентами під час самостійних занять. Варіанти завдань – індивідуальні.

Мета розрахунково-графічних завдань, разом з лекціями та практичними заняттями, полягає у поглибленні теоретичних знань, засвоєнні основних законів і принципів фізики та їх математичних формулювань. Виконуючи розрахунково-графічні роботи, студент має навчитися правильно усвідомлювати, моделювати та виражати фізичні ідеї, кількісно формулювати та розв'язувати фізичні задачі, вибирати і застосовувати раціональні математичні методи їх розв'язання, оцінювати порядки фізичних величин, аналізувати отримані результати, самостійно працювати з літературою, користуватися таблицями фізичних величин, довідниками тощо.

Виконану і оформлену розрахунково-графічну роботу студент подає на перевірку викладачеві і в разі позитивного результату перевірки захищає роботу в передбачені навчальними планами терміни.

Розрахунково-графічна робота оформлюється чорнилом (пастою) з одного боку аркуша формату А4 (297×210 мм). Поля: ліве – 25 мм, праве – не менше 10 мм, верхнє та нижнє – 20 мм.

Схеми, рисунки та графіки виконуються олівцем. Скорочення слів в тексті, крім загальноприйнятих, не дозволяється.

Перед розв'язуванням кожної задачі необхідно вказати задачник, з якого взята задача, та її номер. Умову задачі переписують із задачника повністю, без скорочень.

Розв'язування кожної задачі спочатку виконується у загальному вигляді і обов'язково супроводжується короткими поясненнями з посиланнями на відповідні закони, теореми, правила тощо. Позначення величин у розв'язку задачі і на рисунках або графіках повинні співпадати. Після отримання відповіді у загальному вигляді треба проаналізувати її правильність із загальних міркувань і в разі потреби перевірити розмірність результату.

Виконуючи числові розрахунки, впевнитись, що всі величини при підставці у формули виражені в одиницях СІ. Після виконання розрахунків перевірити, чи не суперечить отриманий результат здоровому глузду.

Якщо отримана відповідь задачі не збігається з відповіддю в задачнику, це треба відмітити окремо.

Для побудови графіків слід користуватися папером з масштабною сіткою (міліметровка або аркуш в клітинку). При цьому слід насамперед раціонально вибрати масштаб, а саме – крива на графіку має бути не дуже крутою і не дуже пологою, бо такі криві важко сприймаються, а робота з ними ускладнюються. Потрібно намагатися використовувати всю площу графіка, тому в багатьох випадках відлік масштабних поділок на координатних осях доцільно починати не з нуля, а з деяких певних значень, які відповідають інтервалам зміни величин, що розглядаються. При виборі масштабу слід пам'ятати, що згідно з вимогами стандарту одна поділка масштабної шкали на графіках має відповідати лише 0,1; 0,2; 0,5 або 1; 2; 5, або 10; 20; 50 і т.д. одиницям вимірюваної величини, але ні в якому разі не 2,5; 3; 4; 7 тощо. На шкалі, як правило, наносять лише “круглі” мітки. Наприклад, 0,5; 1; 1,5; 2 і т.д. На кінцях координатних осей (шкал) обов'язково вказують позначення відповідних величин і їх одиниці виміру.

Точки і лінії наносять на графік чітко і ясно олівцем, так як інакше помилково нанесену точку не можна усунути з графіка, не зіпсувавши його. Ніяких другорядних ліній і відміток, які пояснюють побудову точок, на графік наносити не можна, оскільки вони заважають користуватися графіком і аналізувати результати.

На титульній сторінці розрахунково-графічної роботи, форма якої наведена нижче (дивись *Додаток А*), вказуються розділ курсу, номер варіанту, прізвище та ініціали студента, номер групи, прізвище та ініціали викладача (керівника), а також дата, коли виконана робота була подана викладачеві на перевірку.

2. Приклади розв'язання задач

2.1 Принцип суперпозиції

У вершинах правильного шестикутника зі стороною $a = 10$ см розташовані точкові заряди $Q, 2Q, 3Q, 4Q, 5Q, 6Q$ $Q = 0.1$ мКл. Знайти напруженість електричного поля у центрі симетрії шестикутника.

Розв'язання:

Електричне поле \vec{E} у центрі симетрії шестикутника створюється системою шести точкових зарядів. Згідно з принципом суперпозиції напруженість цього поля буде дорівнювати векторній сумі полів, утворених в цій самій точці кожним окремим зарядом системи за відсутності решти зарядів. Відомо, що модуль (величина) вектора напруженості поля позитивного точкового заряду на відстані r від заряду $E = \frac{q}{4\pi\epsilon_0 r^2}$, а поле напрямлене від заряду вздовж лінії,

що сполучає заряд і точку спостереження. З формули видно, на однакових відстанях від заряду напруженість поля пропорційна величині заряду. У правильному шестикутнику відстані від вершин до центру симетрії однакові. Отже у нашому випадку

$$E_1 : E_2 : E_3 : E_4 : E_5 : E_6 = 1 : 2 : 3 : 4 : 5 : 6,$$

де через E_1, E_2, \dots, E_6 позначені напруженості полів від кожного точкового заряду, починаючи з першого (найменшого).

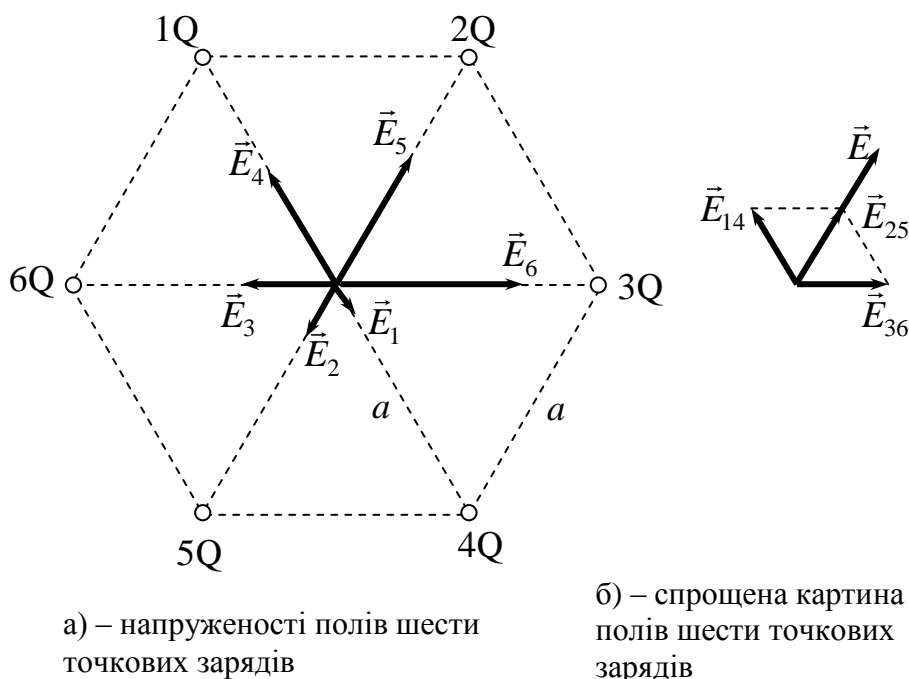


Рисунок 2.1 – Суперпозиція електричних полів системи шести точкових зарядів

На *рисунку 2.1, а* показані поля від усіх зарядів системи зі збереженням масштабу. Очевидно $E_1 a = \frac{Q}{4\pi\epsilon_0 a^2}$.

Для знаходження векторної суми цих полів звернімо увагу на те, що поля від зарядів, розташованих у протилежних вершинах шестикутника, мають протилежні напрямки $\vec{E}_1 \uparrow \downarrow \vec{E}_4$; $\vec{E}_2 \uparrow \downarrow \vec{E}_5$; $\vec{E}_3 \uparrow \downarrow \vec{E}_6$ і тому частково компенсують одно одне. До того ж помічаємо, що у кожному з цих випадків при додаванні полів (відніманні модулів) отримаємо однаковий результат:

$$E_{41} = E_4 - E_1 = 3E_1; \quad E_{52} = E_5 - E_2 = 3E_1; \quad E_{63} = E_6 - E_3 = 3E_1.$$

Це дозволяє замінити суперпозицію (векторну суму) шести різних за величиною полів $\vec{E}_1, \dots, \vec{E}_6$ суперпозицією трьох однакових за величиною полів $\vec{E}_{41}, \vec{E}_{52}$ та \vec{E}_{63} , напрями яких показано на *рисунку 2.1, б*. Діагональ ромба з кутом при вершині 60° дорівнює його стороні. Отже $\vec{E}_{41} + \vec{E}_{63} = \vec{E}_{52}$, а результуюча напруженість поля системи зарядів $E = 2E_{52} = 6E_1$. Тобто модуль результуючого поля

$$E = 6 \frac{Q}{4\pi\epsilon_0 a^2} = \frac{3Q}{2\pi\epsilon_0 a^2}.$$

Після виконання підрахунків отримаємо $E = 540 \text{ кВ/м}$.

$$\text{Відповідь: } E = \frac{3Q}{2\pi\epsilon_0 a^2} = 540 \text{ кВ/м}.$$

2.2 Електричний дипольний момент

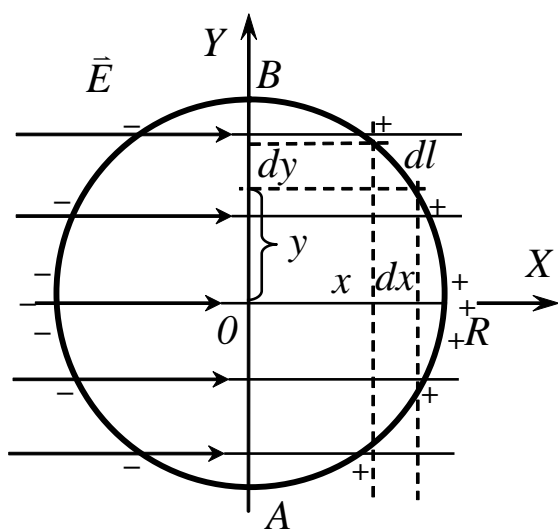


Рисунок 2.2.1 – Металеve кільце в однорідному електричному полі

У однорідному електричному полі, напрямленому вздовж осі X , розміщено металеве кільце радіуса R так, що площина кільця паралельна лініям поля. Внаслідок дії електричного поля на вільні заряди провідника на кільці з'являються надлишкові різнойменні заряди (*рисунки 2.2.1*), лінійна густина яких змінюється за залежністю

$$\tau_{x,y} = \tau_0 \frac{x}{R}.$$

Знайти:

- величину додатного заряду на кільці;
- дипольний момент кільця.

Розв'язання:

Задачу можна розв'язувати як у декартових, так і у полярних координатах.

1-й спосіб (декартова система)

А) За умовою задачі лінійна густина заряду на кільці $\tau_{x,y}$ залежить лише від змінної x , отже, заряди розподілені на кільці симетрично відносно осі X , причому додатний заряд буде розташований на правій стороні кільця, а від'ємний – на лівій (рисунки 2.2.1). Для знаходження величини цього заряду проінтегруємо лінійну густина заряду по правому півкільцю:

$$Q_+ = \int_{ARB} dQ = \int_{ARB} \tau_{x,y} dl.$$

Таке інтегрування можна провести як по змінній x , так і по змінній y . У першому випадку при інтегруванні слід врахувати, що у межах від x до $x+dx$ знаходяться дві ділянки півкільця довжиною dl з додатним зарядом. У другому ж випадку така пересторога є зайвою, оскільки у межах від y до $y+dy$ знаходиться одна така елементарна ділянка (рисунки 2.2.1).

Будемо вважати $x > 0; y > 0$, тобто обмежимося першим сегментом координатної площини. З рівняння кола з центром у початку координат: $x^2 + y^2 = R^2$ знайдемо залежність y від $x = \sqrt{R^2 - x^2}$. Довжина елементарної дуги $dl = \sqrt{1 + y_x'^2} \cdot dx$. Підставивши у це співвідношення значення похідної:

$$y_x' = -\frac{x}{\sqrt{R^2 - x^2}}, \text{ отримаємо } dl = \frac{Rdx}{\sqrt{R^2 - x^2}}.$$

Переходимо до інтегрування:

$$Q_+ = \int_{ARB} \tau_{x,y} dl = 2 \int_{RB} \tau_{x,y} dl = 2 \int_0^R \tau_0 \frac{x}{R} \cdot \frac{Rdx}{\sqrt{R^2 - x^2}} = 2\tau_0 \int_0^R \frac{xdx}{\sqrt{R^2 - x^2}} = 2\tau_0 R.$$

Аналогічним чином розв'язуємо задачу інтегруванням по змінній y :

$$x = \sqrt{R^2 - y^2}; \quad x_y' = -\frac{y}{\sqrt{R^2 - y^2}}; \quad dl = \frac{Rdy}{\sqrt{R^2 - y^2}} \text{ і, нарешті, вира-$$

зивши залежність лінійної густини заряду на кільці через змінну y :

$$\tau_{x,y} = \tau_0 \frac{x}{R} = \tau_0 \frac{\sqrt{R^2 - y^2}}{R}, \text{ виконуємо інтегрування:}$$

$$Q_+ = \int_{ARB} \tau_{x,y} dl = \int_{-R}^R \tau_0 \frac{\sqrt{R^2 - y^2}}{R} \cdot \frac{R dy}{\sqrt{R^2 - y^2}} = \tau_0 \int_{-R}^R dy = 2\tau_0 R.$$

2-й спосіб (полярна система координат)

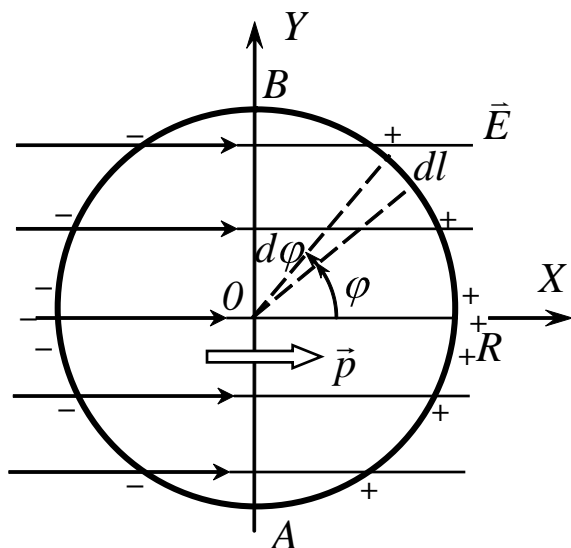


Рисунок 2.2.2 – Розв’язування задачі у полярних координатах

Перейдемо у формулах до полярних координат, скориставшись співвідношеннями $x = \rho \cos \varphi$; $y = \rho \sin \varphi$. Отримаємо:

- рівняння кола $\rho = R$;
- залежність лінійної густини заряду на провіднику $\tau \varphi = \tau_0 \cos \varphi$;
- довжина елементарної дуги $dl = R \cdot d\varphi$.

При інтегруванні вздовж правої сторони кільця кут φ (рисунок 2.2.2) буде зростаючи, змінюватись від $\varphi_1 = -\pi/2$ (нижня межа) до $\varphi_2 = +\pi/2$ (верхня межа інтегрування).

Отже

$$Q_+ = \int_{ARB} \tau \varphi dl = \int_{\varphi_1}^{\varphi_2} \tau_0 \cos \varphi \cdot R d\varphi = \tau_0 R \int_{-\pi/2}^{+\pi/2} \cos \varphi d\varphi = 2\tau_0 R.$$

Б) Вектор дипольного моменту системи зарядів, розподілених в деякій області D , за умови, що алгебраїчна сума усіх зарядів системи дорівнює нулю, розраховується за формулою $\vec{p}_E = \int_D \vec{r} dQ$ або, у нашому випадку,

$$\vec{p}_E = \int_{\text{По кільцю}} \vec{r} dQ, \text{ де } \vec{r} \text{ – радіус-вектор, проведений від початку координат до}$$

точки, в нескінченно малому околі якої розташований заряд dQ . Зважаючи на симетричне розташування зарядів відносно осі X , напрям вектора \vec{p}_E буде збігатися з напрямом осі X (рисунок 2.2.2). Тому модуль вектора дипольного моменту буде дорівнювати його проекції на вісь X , тобто $p_E = p_{EX} = \int_{\text{По кільцю}} x dQ$.

Виконаємо розрахунки у полярній системі координат. Для цього виразимо: $x = R \cos \varphi$; $\tau \varphi = \tau_0 \cos \varphi$; $dl = R \cdot d\varphi$ і, відповідно, заряд $dQ = \tau \varphi dl = \tau_0 \cos \varphi \cdot R d\varphi$. Переходимо до інтегрування:

$$P_E = \int_{\text{По кільцо}} x \tau \varphi dl = \int_0^{2\pi} R \cos \varphi \cdot \tau_0 \cos \varphi \cdot R d\varphi = \tau_0 R^2 \int_0^{2\pi} \cos^2 \varphi d\varphi = \pi \tau_0 R^2.$$

Радимо отримати цей результат, виконавши інтегрування у декартових координатах.

Відповідь: а) $Q_+ = 2\tau_0 R$; б) $\vec{p}_E = \pi \tau_0 R^2 \cdot \vec{i}$.

2.3 Еквіпотенціальна поверхня

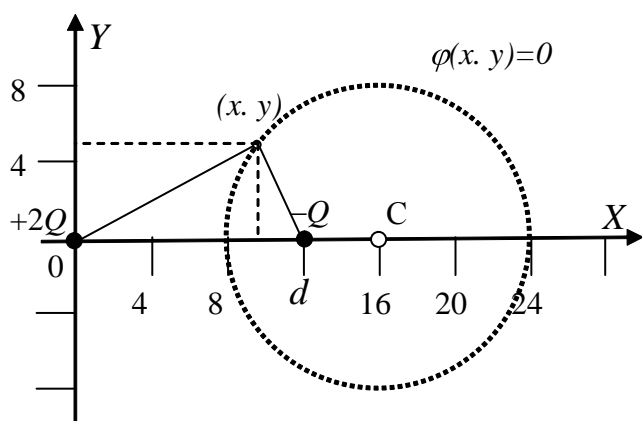


Рисунок 2.3 – Розрахунок еквіпотенціальної поверхні поля, утвореного двома точковими зарядами

Поле утворено двома точковими зарядами $+2Q$ та $-Q$, розташованими на відстані $d = 12$ см один від одного. Знайти геометричне місце точок на площині, для котрих потенціал дорівнює нулю, тобто $\varphi_{x,y} = 0$. Написати рівняння лінії нульового потенціалу.

Розв'язання:

Розташуємо заряд $+2Q$ в початку системи координат, а заряд $-Q$ на осі X , на відстані d від початку

координат (рисунок 2.3).

У кожній точці простору потенціал поля, утвореного системою зарядів, дорівнює алгебраїчній сумі потенціалів, утворених в цій точці кожним зарядом системи окремо: $\varphi_{x,y} = \varphi_+_{x,y} + \varphi_-_{x,y}$. Беручи до уваги знаки потенціалів (знаки зарядів), складемо рівняння лінії нульового потенціалу:

$$k \frac{2Q}{\sqrt{x^2 + y^2}} - k \frac{Q}{\sqrt{d - x^2 + y^2}} = 0.$$

Після очевидних спрощень і перетворень отримаємо

$$\begin{aligned} 4 \left[d - x^2 + y^2 \right] &= x^2 + y^2; \\ 4d^2 - 8xd + 4x^2 + 4y^2 &= x^2 + y^2; \\ 3x^2 + 3y^2 - 8xd + 4d^2 &= 0; \\ \left(x^2 - \frac{8}{3}xd \right) + y^2 + \frac{4}{3}d^2 &= 0. \end{aligned}$$

Вираз у дужках доповнюємо до повного квадрату:

$$\begin{aligned} \left(x^2 - \frac{8}{3}xd + \frac{16}{9}d^2 \right) + y^2 - \frac{16}{9}d^2 + \frac{4}{3}d^2 &= 0; \\ \left(x - \frac{4}{3}d \right)^2 + y^2 = \frac{4}{9}d^2; & \quad \left(x - \frac{4}{3}d \right)^2 + y^2 = \left(\frac{2}{3}d \right)^2. \end{aligned}$$

Це рівняння кола радіусом $R = \frac{2}{3}d = 8$ см і центром у точці $C\left(\frac{4}{3}d; 0\right) = C(16; 0)$ або $(x - 16)^2 + y^2 = 8^2$.

$$\text{Відповідь: } \left(x - \frac{4}{3}d\right)^2 + y^2 = \left(\frac{2}{3}d\right)^2.$$

З а у в а ж е н н я . Така сама картина спостерігатиметься у будь-якій площині, що містить в собі вісь X . Тому, взагалі кажучи, тут буде екіпотенціальна поверхня – сфера нульового потенціалу $\varphi(x, y, z) = 0$, рівняння якої

$$\left(x - \frac{4}{3}d\right)^2 + y^2 + z^2 = \left(\frac{2}{3}d\right)^2.$$

2.4 Напруженість і потенціал електричного поля

Вектор напруженості деякого електричного поля змінюється за залежністю $\vec{E}(x, y) = ay \cdot (y - 2x) \cdot \vec{i} + ax \cdot (2y - x) \cdot \vec{j}$. Знайти потенціал $\varphi(x, y)$ поля.

Розв'язання.

Потенціал може бути введений лише у таких полях, де сили, що діють на частинки (заряди), є консервативними. Тому спочатку впевнімося, що дане поле є потенціальним, тобто $\text{rot } \vec{E} = 0$:

$$\text{rot } \vec{E} = \begin{vmatrix} \vec{i} & \vec{j} & \vec{k} \\ \frac{\partial}{\partial x} & \frac{\partial}{\partial y} & \frac{\partial}{\partial z} \\ ay(y-2x) & ax(2y-x) & 0 \end{vmatrix} =$$

$$= 0 \cdot \vec{i} + 0 \cdot \vec{j} + (2ay - 2ax - 2ay + 2ax) \cdot \vec{k} = 0.$$

Зв'язок між складовими вектора $\vec{E}(x, y)$ та потенціалом $\varphi(x, y)$ в кожній точці поля має вигляд

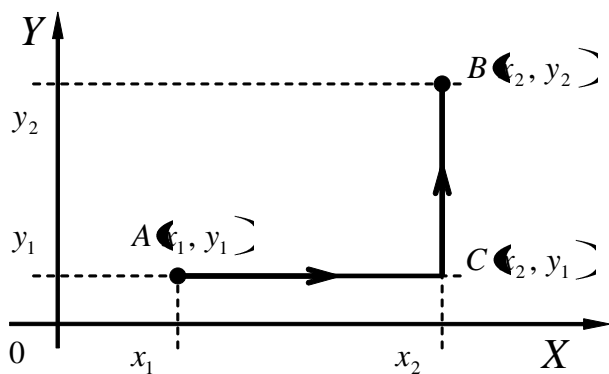


Рисунок 2.4 – Шлях інтегрування для обчислення потенціалу

$$E_x(x, y) = -\frac{\partial \varphi}{\partial x}, \quad E_y(x, y) = -\frac{\partial \varphi}{\partial y}.$$

У нашому випадку $E_x(x, y) = ay(y - 2x)$;
 $E_y(x, y) = ax(2y - x)$.

У потенціальному полі різницю потенціалів між двома точками A та B можна виразити через криволінійний інтеграл 2-го роду:

$$\varphi_A - \varphi_B = \int_A^B \vec{E} \cdot d\vec{l}.$$

Такий інтеграл має однакові значення незалежно від шляху, по якому виконується інтегрування. Тому для обчислення інтеграла зручно обрати шлях, який складається з двох ділянок, на кожній з яких одна з координат – x або y змінюється, а друга – лишається сталою (рисунки 2.4):

Дійсно, якби інтегрування виконувалось по довільній кривій, то, враховуючи очевидні співвідношення:

$$\vec{E}(x, y) = E_x(x, y) \cdot \vec{i} + E_y(x, y) \cdot \vec{j} \quad \text{та} \quad d\vec{l} = dx \cdot \vec{i} + dy \cdot \vec{j},$$

вираз під інтегралом (скалярний добуток $\vec{E} \cdot d\vec{l}$) треба було б подати у вигляді:

$$\begin{aligned} \vec{E}(x, y) d\vec{l} &= (E_x(x, y) \cdot \vec{i} + E_y(x, y) \cdot \vec{j}) \cdot (dx \cdot \vec{i} + dy \cdot \vec{j}) = \\ &= E_x(x, y) \cdot dx + E_y(x, y) \cdot dy. \end{aligned}$$

Якщо ж замість довільного шляху інтегрування обрати такий, як показано на рисунку 2.4, то на першій ділянці AC буде змінюватись тільки координата x (тобто $dy = 0$), а на другій ділянці CB – тільки координата y (тобто $dx = 0$). Інтеграл розпадається на два:

$$\varphi_A - \varphi_B = \int_A^B \vec{E} \cdot d\vec{l} = \int_{x_1}^{x_2} E_x(x, y_1) dx + \int_{y_1}^{y_2} E_y(x_2, y) dy.$$

Виконуємо інтегрування:

$$\begin{aligned} \varphi_A - \varphi_B &= \int_{x_1}^{x_2} ay_1(y_1 - 2x) dx + \int_{y_1}^{y_2} ax_2(2y - x_2) dy = \\ &= \int_{x_1}^{x_2} ay_1^2 - 2axy_1 dx + \int_{y_1}^{y_2} 2ax_2y - ax_2^2 dy = \\ &= ay_1^2(x_2 - x_1) - ay_1(x_2^2 - x_1^2) + ax_2(y_2^2 - y_1^2) - ax_2^2(y_2 - y_1) = \\ &= (ax_1y_1^2 + ax_1^2y_1) - (ax_2y_2^2 + ax_2^2y_2) = \varphi(x_1, y_1) - \varphi(x_2, y_2). \end{aligned}$$

Таким чином, ми показали, що значення криволінійного інтеграла на шляху AB дорівнює різниці значень функції

$$\varphi(x, y) = -axy^2 + ax^2y + C = axy(x - y) + C$$

в початковій $A(x_1, y_1)$ та кінцевій $B(x_2, y_2)$ точках шляху інтегрування.

Ця функція і буде потенціалом поля, заданого умовою задачі.

$$\text{Відповідь: } \varphi(x, y) = axy(x - y) + C.$$

2.5 Рівняння Пуассона

Потенціал у деякій області простору залежить лише від координати x і визначається за формулою $\varphi(x) = -\frac{ax^2}{2} + C$. Знайти густину зарядів, які створюють це поле.

Розв'язання.

Розподіл зарядів знайдемо за допомогою рівняння Пуассона $\Delta\varphi = -\frac{\rho(x, y, z)}{\varepsilon\varepsilon_0}$, яке в одномірному випадку (залежності лише від однієї координати) має вигляд:

$$\frac{d^2\varphi}{dx^2} = -\frac{\rho(x)}{\varepsilon\varepsilon_0}.$$

Підставивши у ліву частину рівняння задану залежність $\varphi(x)$, одержимо

$$\rho(x) = -\varepsilon\varepsilon_0 \frac{d}{dx} \left(\frac{d}{dx} \left(-\frac{1}{2}ax^2 + C \right) \right) = \varepsilon\varepsilon_0 a.$$

Відповідь: $\rho(x) = a\varepsilon\varepsilon_0 = \text{const}$.

2.6 Потік вектора \vec{E} через бічну поверхню циліндра

Точковий заряд Q знаходиться в центрі основи прямого кругового циліндра висотою h , радіус основи a . Знайти потік вектора \vec{E} через бічну поверхню циліндра.

Розв'язання.

За означенням, потік вектора \vec{E} через елементарну площадку dS дорівнює

$$d\Phi = \vec{E}, \vec{n} dS = E \cos \alpha \cdot dS, \quad (2.6.1)$$

де α – кут між вектором \vec{E} та нормаллю \vec{n} до площадки. Будемо розглядати площадку dS у вигляді вузької кільцевої смуги, яка проходить по поверхні циліндра на відстані y від основи (рисунк 2.6). Ширину смуги приймемо за dy . В межах цієї площадки величину і напрям напруженості поля ($E(y)$ та кут α) можна вважати сталими. Враховуючи, що $E(y)$ дорівнює модулю поля точкового заряду Q на відстані r , запишемо

$$E(y) = \frac{Q}{4\pi\varepsilon_0 r^2} = \frac{Q}{4\pi\varepsilon_0 (a^2 + y^2)}. \quad (2.6.2)$$

Площу обраної елементарної площадки dS та $\cos \alpha$ виразимо через радіус циліндра a , координату y та ширину смуги dy :

$$dS = 2\pi a \cdot dy; \quad \cos \alpha = \frac{a}{r} = \frac{a}{\sqrt{a^2 + y^2}}. \quad (2.6.3)$$

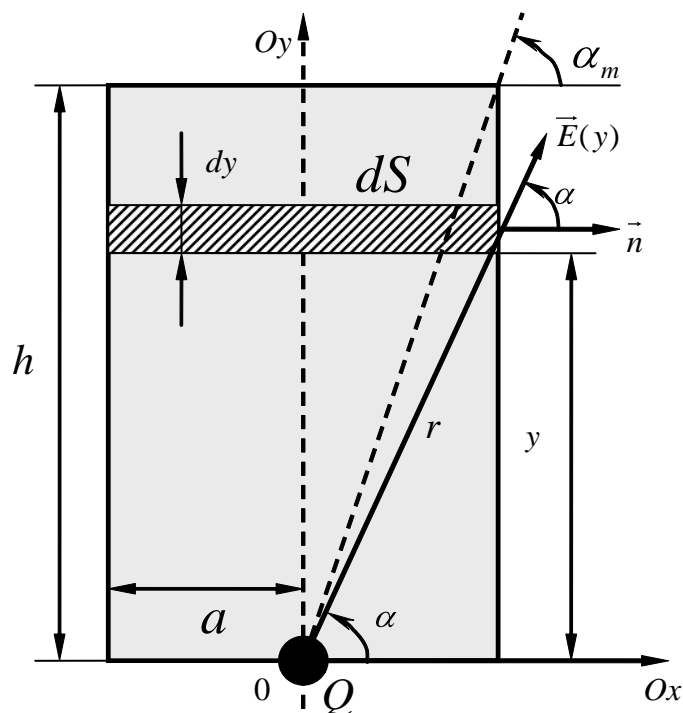


Рисунок 2.6 – До розрахунку потоку вектора \vec{E} через бічну поверхню циліндра.

Підставивши вирази (2.6.2) і (2.6.3) у формулу (2.6.1), знайдемо елементарний потік вектора \vec{E} через площадку dS :

$$d\Phi = \frac{Q}{4\pi\epsilon_0(a^2 + y^2)} \cdot \frac{a}{a^2 + y^2} \cdot 2\pi a \cdot dy = \frac{Qa^2}{2\epsilon_0} \frac{dy}{a^2 + y^2} \quad (2.6.4)$$

Потік через бічну поверхню циліндра знайдемо інтегруванням формули (2.6.4) по змінній y в межах від основи циліндра ($y = 0$) до його висоти $y = h$:

$$\Phi = \frac{Qa^2}{2\epsilon_0} \cdot \int_0^h \frac{dy}{a^2 + y^2} \quad (2.6.5)$$

Для обчислення інтеграла скористаємося заміною змінної інтегрування:

$$y = a \cdot \operatorname{tg} \alpha, \Rightarrow dy = \frac{a \cdot d\alpha}{\cos^2 \alpha}, \quad (2.6.6)$$

тобто перейдемо від змінної інтегрування y до змінної α .

Підставивши співвідношення (2.6.6) у підінтегральну функцію (2.6.5) і виконавши тригонометричні та алгебраїчні спрощення, отримаємо:

$$\Phi = \frac{Qa^2}{2\varepsilon_0} \cdot \int_0^{\alpha_m} \frac{a \cdot d\alpha}{a^3 \cdot 1 + \operatorname{tg}^2 \alpha \cdot \frac{3}{2} \cdot \cos^2 \alpha} = \frac{Q}{2\varepsilon_0} \cdot \int_0^{\alpha_m} \cos \alpha \cdot d\alpha,$$

де верхня межа інтегрування α_m дорівнює значенню кута α на висоті $y = h$.

Обчислюємо інтеграл:

$$\Phi = \frac{Q}{2\varepsilon_0} \cdot \int_0^{\alpha_m} \cos \alpha \cdot d\alpha = \frac{Q}{2\varepsilon_0} \cdot \sin \alpha \Big|_0^{\alpha_m} = \frac{Q}{2\varepsilon_0} \cdot \sin \alpha_m.$$

З *рисунка 2.6* бачимо, що $\sin \alpha_m = \frac{h}{\sqrt{a^2 + h^2}}$.

Отже, остаточно маємо:

$$\Phi = \frac{Qh}{2\varepsilon_0 \sqrt{a^2 + h^2}} = \frac{Q}{2\varepsilon_0 \sqrt{1 + \left(\frac{a}{h}\right)^2}}.$$

$$\text{Відповідь: } \Phi = \frac{Qh}{2\varepsilon_0 \sqrt{a^2 + h^2}}.$$

2.7 Теорема Гауса. Поле зарядженої кулі

Куля радіуса R має позитивний заряд, об'ємна густина якого залежить тільки від відстані r до його центра за законом: $\rho(r) = \rho_0 \left(1 - \frac{r}{R}\right)$, де ρ_0 – додатна постійна. Вважаючи відносно діелектричну проникність кулі і оточуючого простору рівною одиниці, знайти:

- модуль вектора напруженості електричного поля всередині кулі як функцію відстані r ;
- максимальне значення напруженості E_{\max} , та відповідну цьому значенню відстань r_m ;
- модуль вектора напруженості електричного поля зовні кулі як функцію відстані r .

Розв'язання

А) Оскільки розподіл заряду всередині кулі симетричний відносно центру ($\rho(r)$ залежить тільки від r), електричне поле у будь-якій точці всередині і зовні кулі напрямлене вздовж її радіуса (*рисунок 2.7.1*). Тому для розрахунку залежності $E(r)$ можна застосувати теорему Гауса, обравши в якості замкнутої поверхні сферу радіуса r , концентричну із зарядженою кулею. Дійсно, на пове-

рхні такої сфери вектор $\vec{E} r$ напрямлений вздовж нормалі до поверхні і має однаковий модуль, тобто $E r = E_n = const$.

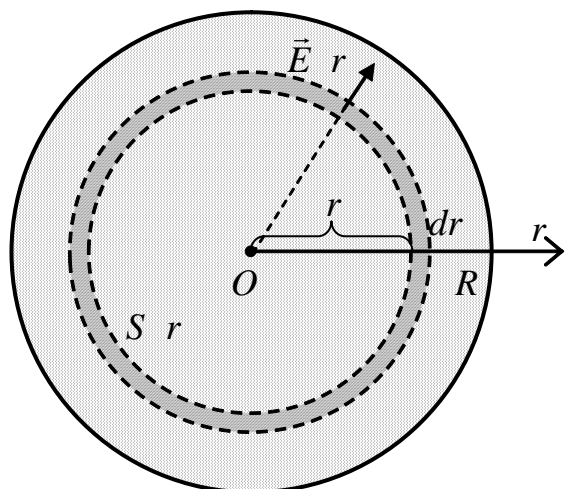


Рисунок 2.7.1 – Розрахунок напруженості електричного поля всередині зарядженої кулі

Згідно з теоремою Гауса, потік вектора \vec{E} через довільну замкнуту поверхню S дорівнює алгебраїчній сумі зарядів всередині цієї поверхні:

$$\oint_S E_n dS = \frac{1}{\epsilon_0} \int_{V_S} \rho r dV, \quad (2.7.1)$$

де інтегрування в правій частині проводиться по об'єму V_S , обмеженому поверхнею S .

Зауважимо, що замкнута поверхня S може розглядатися як уявна.

Обчислюємо інтеграл у лівій частині формули (2.7.1).

На поверхні $S r$ – сфері радіуса r :

$$\oint_S E_n dS = \left|_{E_n = E r = const} \right| = E r \oint_S dS = E r \cdot 4\pi r^2. \quad (2.7.2)$$

Обчислюємо інтеграл у правій частині формули (2.7.1). Для обчислення інтеграла розіб'ємо внутрішній простір сфери $S r$ на елементарні концентричні сферичні шари радіусом r і товщиною dr , як показано на *рисунку 2.7.1*. Елементарний об'єм такого сферичного шару $dV = S r \cdot dr = 4\pi r^2 dr$. Після підстановки цієї величин у правий інтеграл він набуде вигляду

$$\int_{V_S} \rho r dV = \int_{V_S} \rho_0 \left(1 - \frac{r}{R}\right) 4\pi r^2 dr = 4\pi \rho_0 \int_{V_S} \left(1 - \frac{r}{R}\right) r^2 dr.$$

При інтегруванні по внутрішньому простору сфери $S r$ змінна інтегрування r змінюватиметься від $r=0$ (нижня межа) до $r=r$ (верхня межа інтеграла):

$$4\pi \rho_0 \int_{V_S} \left(1 - \frac{r}{R}\right) r^2 dr = 4\pi \rho_0 \int_0^r r^2 \left(1 - \frac{r}{R}\right) dr.$$

Виконавши інтегрування, отримаємо заряд кулі, розташований всередині замкнутої поверхні $S r$:

$$\int_{V_S} \rho r dV = 4\pi \rho_0 \left(\frac{1}{3} r^3 - \frac{1}{4R} r^4 \right) = 4\pi \rho_0 r^3 \left(\frac{1}{3} - \frac{r}{4R} \right). \quad (2.7.3)$$

Підставивши результати (2.7.2) та (2.7.3) у (2.7.1), після очевидних перетворень отримаємо залежність $E r$ всередині кулі:

$$E r = \frac{\rho_0 r}{3\epsilon_0} \left(1 - \frac{3r}{4R} \right) \text{ при } r \leq R. \quad (2.7.4)$$

Б) Для відповіді на запитання треба дослідити отриману функцію на максимум, тобто розв'язати рівняння $\frac{dE}{dr} = 0$.

Обчислюємо похідну:

$$\frac{dE}{dr} = \frac{\rho_0}{\epsilon_0} \left(\frac{1}{3} - \frac{r}{2R} \right).$$

Прирівнявши похідну до нуля та розв'язавши отримане рівняння відносно r , знаходимо відстань від центра, на якій напруженість поля максимальна:

$$r_m = \frac{2}{3} R. \quad (2.7.5)$$

Для знаходження максимальної напруженості поля підставляємо знайдену величину r_m у формулу (2.7.4). Отримаємо

$$E_{\max} = E r_m = \frac{\rho_0 R}{9\epsilon_0}. \quad (2.7.6)$$

В) Напруженість поля зовні зарядженої кулі знайдемо, застосувавши теорему Гауса на замкнутій поверхні – сфері $S r$, радіус якої $r > R$, як показано на *рисунку 2.7.2*. Аналогічно тому, як це було зроблено при відповіді на запитання а), оточимо заряджену кулю уявною сферою $S r$, концентричною з зарядженою кулею. Інтеграл у лівій частині формули (2.7.1) буде мати такий самий вигляд, як і у попередньому випадку, тобто

$$\oint_S \vec{E}_n dS = E r \cdot 4\pi r^2.$$

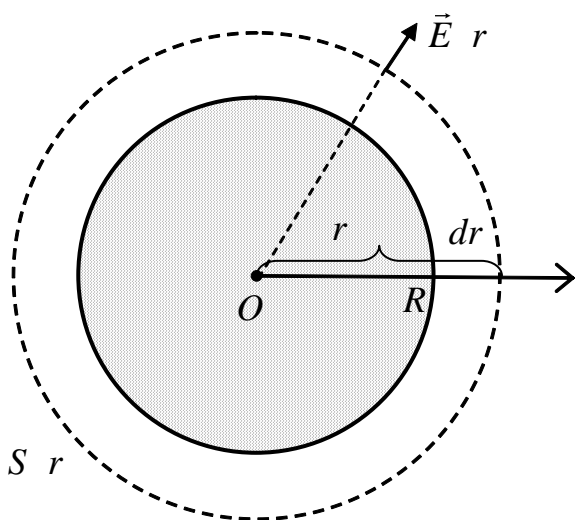


Рисунок 2.7.2 – Розрахунок напруженості електричного поля зовні зарядженої кулі

При обчисленні інтеграла у правій частині формули (2.7.1) слід звернути увагу на те що тепер замкнута поверхня $S r$ оточує цілком усю заряджену кулю. Отже, всередині замкнutoї поверхні знаходиться повний заряд кулі, який буде лишатися сталим для сфери будь-якого радіуса за умови $r > R$. Величину цього заряду можна знайти, підставивши радіус сфери R замість r у формулу (2.7.3). Отримаємо

$$\begin{aligned} Q &= 4\pi\rho_0 \left(\frac{1}{3} R^3 - \frac{1}{4R} R^4 \right) = \\ &= 4\pi\rho_0 R^3 \left(\frac{1}{3} - \frac{1}{4} \right) = \frac{1}{3} \pi\rho_0 R^3. \end{aligned}$$

Підставивши ці вирази у (2.7.1), отримаємо рівняння

$$E r \cdot 4\pi r^2 = \frac{1}{3} \pi \rho_0 R^3,$$

звідки і знаходимо потрібну залежність:

$$E r = \frac{\rho_0 R^3}{12\epsilon_0 r^2} \text{ при } r \geq R. \quad (2.7.7)$$

Відповідь: див. формули а) (2.7.4);
б) (2.7.6) та (2.7.5);
в) (2.7.7).

2.8 Рух заряджених частинок у електричному полі

Електрони влітають у плоский конденсатор довжиною L під кутом α , а вилітають під кутом β до пластини. Напруга на конденсаторі U , відстань між пластинами d . Знайти кінетичну енергію електронів на вході у конденсатор.

Розв'язання

Для визначення початкової кінетичної енергії електрона треба знайти величину його швидкості у момент вльоту у конденсатор.

Розташуємо конденсатор горизонтально і виберемо систему координат, як показано на *рисунку 2.8*.

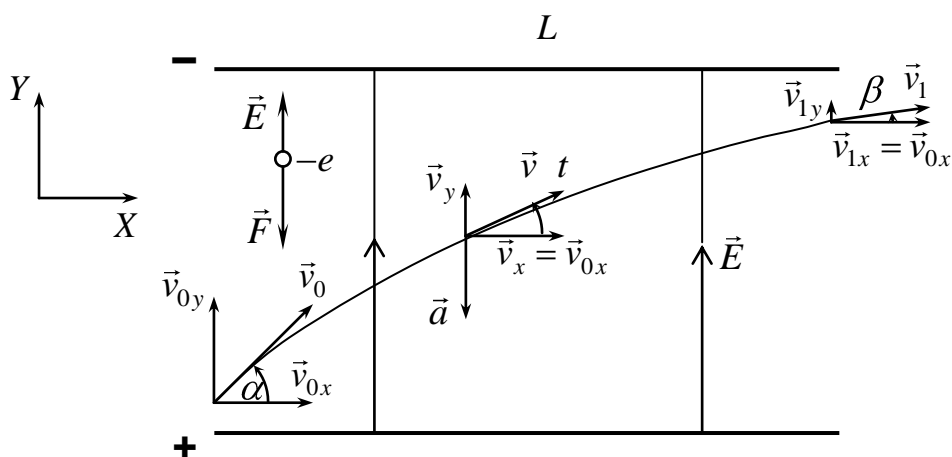


Рисунок 2.8 – Рух електрона у електричному полі зарядженого конденсатора

Якщо нижня пластина заряджена позитивно, а верхня – негативно, то між пластинами утвориться вертикальне однорідне електричне поле $\vec{E} = const$, направлене вгору. Сила \vec{F} , що діє на електрон у такому полі, у кожній точці траєкторії руху електрона буде направлена вертикально униз ($\vec{F} = q\vec{E}$, де $q = -e < 0$). У той же бік направлене і прискорення \vec{a} руху електрона. Застосу-

вавши 2-й закон Ньютона, знайдемо $\vec{a} = \frac{\vec{F}}{m} = -\frac{e\vec{E}}{m} = const$, m – маса електрона.

Отже, прискорення стало за величиною і напрямом, тобто рух електрона – рівноприскорений. Зауважимо, що у даному випадку прискорення увесь час на-

прямлене вертикально униз, тому електрон рухатиметься по параболі, подібно тілу, кинутому у полі тяжіння Землі під кутом до її поверхні.

Позначимо швидкість електрона на вході у конденсатор \vec{v}_0 , а після проходження конденсатора \vec{v}_1 .

З кінематики відомо, що при рівноприскореному русі швидкість тіла змінюється з часом рівномірно:

$$\vec{v} \ t = \vec{v}_0 + \vec{a}t. \quad (2.8.1)$$

Переходячи у цьому рівнянні до проекцій на координатні осі X та Y , одержимо: $v_x \ t = v_{0x} + a_x t$ та, відповідно, $v_y \ t = v_{0y} + a_y t$. У нашому випадку $a_x = 0$; $a_y = -\frac{eE}{m}$. Тому замість векторного рівняння (2.8.1) отримаємо два скалярних рівняння:

$$\begin{cases} v_x = v_{0x}; \\ v_y \ t = v_{0y} - \frac{eE}{m}t. \end{cases} \quad (2.8.2)$$

Перше з цих рівнянь свідчить про те, що швидкість руху електрона у горизонтальному напрямі (паралельно пластинам) не змінюється з часом і дорівнює горизонтальній проекції початкової швидкості

$$v_{0x} = v_0 \cos \alpha. \quad (2.8.3, \text{ а})$$

У той же час швидкість руху електрона вздовж вертикалі змінюється з часом:

$$v_y \ t = v_{0y} - \frac{eE}{m}t = v_0 \sin \alpha - \frac{eE}{m}t. \quad (2.8.3, \text{ б})$$

Відмітимо також, що обидва рухи – по горизонтальній і по вертикалі – не залежні один від одного, і тому, розв'язуючи задачу будемо розглядати їх окремо.

Далі позначимо час прольоту електрона через конденсатор τ . Цей час легко знайти, знаючи довжину пластин конденсатора L та горизонтальну швидкість руху:

$$\tau = \frac{L}{v_x} = \frac{L}{v_{0x}} = \frac{L}{v_0 \cos \alpha}.$$

Підставивши це значення у формулу (2.8.3, б), знайдемо вертикальну складову швидкості електрона після проходження конденсатора:

$$v_y \ \tau = v_0 \sin \alpha - \frac{eE}{m}\tau = v_0 \sin \alpha - \frac{eEL}{mv_0 \cos \alpha}. \quad (2.8.4, \text{ а})$$

З іншого боку, цю проекцію можна виразити і через відомий кут β :

$$v_y \ \tau = v_{1x} \cdot \text{tg} \beta = v_{0x} \cdot \text{tg} \beta = v_0 \cos \alpha \cdot \text{tg} \beta. \quad (2.8.4, \text{ б})$$

Прирівнявши вирази (2.8.4, а) та (2.8.4, б), отримаємо рівняння:

$$v_0 \sin \alpha - \frac{eEL}{mv_0 \cos \alpha} = v_0 \cos \alpha \cdot \operatorname{tg} \beta.$$

Переписавши його у вигляді

$$v_0 \sin \alpha - \cos \alpha \cdot \operatorname{tg} \beta = \frac{eEL}{mv_0 \cos \alpha},$$

знаходимо

$$mv_0^2 = \frac{eEL}{\cos \alpha \sin \alpha - \cos \alpha \cdot \operatorname{tg} \beta}.$$

Звідси знайдемо відповідь

$$K_0 = \frac{mv_0^2}{2} = \frac{eEL}{2 \cos \alpha \sin \alpha - \cos \alpha \cdot \operatorname{tg} \beta}. \quad (2.8.5, \text{ а})$$

З а у в а ж е н н я . Виконуючи обчислення за формулою (2.8.5) слід врахувати знак кута β . Якщо у момент вильоту з конденсатора електрон наближався до верхньої пластини, тобто вектор \vec{v}_1 був напрямлений «вправо і вгору», як показано на *рисунок 2.8*, то кут β в отриманій формулі вважається додатним $\beta > 0$ і вигляд формули не зміниться. Якщо ж електрон вилітає з конденсатора, віддаляючись від верхньої пластини, тобто вектор \vec{v}_1 напрямлений «вправо і вниз», то кут β в отриманій формулі слід вважати від'ємним $\beta < 0$, внаслідок чого $\operatorname{tg} \beta$ як непарна функція змінить знак на протилежний, а формула буде мати вигляд

$$K_0 = \frac{mv_0^2}{2} = \frac{eEL}{2 \cos \alpha \sin \alpha + \cos \alpha \cdot \operatorname{tg} \beta}. \quad (2.8.5, \text{ б})$$

Це саме стосується і вибору знаку кута α .

Нарешті виразимо напруженість електричного поля E через напругу U між пластинами конденсатора та відстань d між пластинами, а саме $E = \frac{U}{d}$, і підставимо цей вираз в отримані формули (2.8.5, а, б):

$$K_0 = \frac{eUL}{2d \cos \alpha \sin \alpha \mp \cos \alpha \cdot \operatorname{tg} \beta}.$$

$$\text{Відповідь: } K_0 = \frac{eUL}{2d \cos \alpha \sin \alpha \mp \cos \alpha \cdot \operatorname{tg} \beta}.$$

2.9 Електричний струм. Закон Ома

У двохпровідній лінії довжини L на деякій відстані x від її початку AA' пробито ізоляцію, що призвело до появи деякого опору між проводами у цьому місці (*рисунок 2.9.1*). Для пошуку місця пробою провели три допоміжні вимірювання опорів:

- а) опір між точками A та A' при розімкнутих кінцях B та B' дорівнював R_1 ;

- б) опір між точками A та A' при коротко замкнутих кінцях B та B' дорівнював R_2 ;
 в) опір між точками B та B' при розімкнутих кінцях A та A' дорівнював R_3 .
 Знайти відстань x до місця пошкодження лінії.

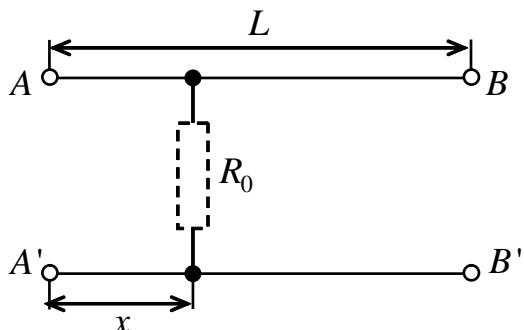


Рисунок 2.9.1 – Розрахунок відстані до місця пробою двохпровідної лінії

Розв'язання

Позначимо опір одиниці довжини одного проводу двохпровідної лінії ρ , а опір (невідомий), який утворився у місці пробою, – R_0 .

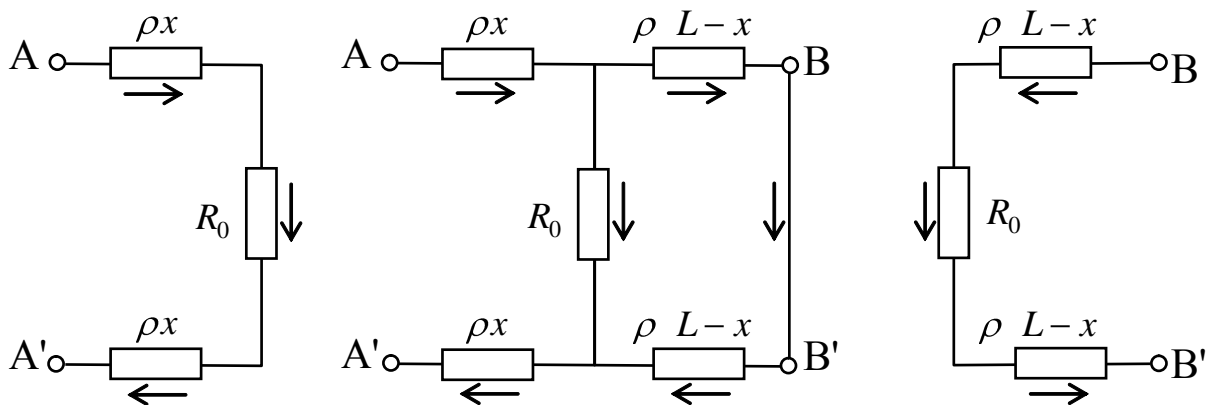
Складемо еквівалентні схеми відповідно до кожного з трьох допоміжних вимірювань (рисунок 2.9.2).

Відповідно до умови задачі та згідно з еквівалентними схемами, величини опорів, отримані у кожному з додаткових вимірювань, дорівнюють:

при першому вимірюванні за схемою а) $R_1 = 2\rho x + R_0$;

при другому вимірюванні за схемою б) $R_2 = 2\rho x + \frac{R_0 \cdot 2\rho L - x}{R_0 + 2\rho L - x}$;

при третьому вимірюванні за схемою в) $R_3 = 2\rho L - x + R_0$.



а) – перше вимірювання; б) – друге вимірювання; в) – третє вимірювання

Рисунок 2.9.2 – Еквівалентні схеми двохпровідної лінії при допоміжних вимірюваннях опорів

Розв'язавши таку систему рівнянь, отримаємо відповідь:

$$\text{Відповідь: } x = L \frac{R_1 - R_0}{R_1 + R_3 - 2R_0}, \text{ де } R_0 = \sqrt{R_3 (R_1 - R_2)}.$$

З а у в а ж е н н я . Для розв'язання вказаної системи рівнянь виразимо з *першого* рівняння величину $2\rho x = R_1 - R_0$, а з *третього* відповідно $2\rho L - x = R_3 - R_0$. Після підстановки цих величин у *друге* рівняння системи отримаємо $R_0 = \sqrt{R_3 R_1 - R_2}$. Якщо ж знайти відношення цих величин, то після скорочення на 2ρ і нескладних алгебраїчних перетворень отримаємо відповідь.

2.10 Електричний струм. Закони постійного струму

Напруга на кінцях провідника зі сталим опором R рівномірно зростає протягом часу τ від U_1 до U_2 . Знайти:

- заряд q , який пройшов по провіднику;
- кількість теплоти Q , що виділилась в провіднику за цей проміжок часу.

Розв'язання:

Спочатку з'ясуємо, за яким законом змінювалась напруга на кінцях провідника. Графік залежності $U = U t$ показано на *рисунку 2.10*. За умовою задачі напруга зростала рівномірно, тобто залежність $U = U t$ – лінійна:

$$U t = a + bt,$$

де a і b – деякі константи, $0 \leq t \leq \tau$.

Знаходимо значення цих констант. У початковий момент часу, при $t = 0$, маємо $U 0 = a = U_1$, тоді залежність набуває вигляду:

$$U t = U_1 + bt.$$

В кінцевий момент часу, при $t = \tau$, $U \tau = U_2$, тобто $U_1 + b\tau = U_2$, звідки:

$$b = \frac{U_2 - U_1}{\tau}.$$

Отже, уточнена залежність миттєвої напруги $U t$ на опорі має вигляд:

$$U t = U_1 + \frac{U_2 - U_1}{\tau}t.$$

Миттєву силу струму в опорі у момент часу t знайдемо за законом Ома:

$$I t = \frac{U t}{R} = \frac{1}{R} \left(U_1 + \frac{U_2 - U_1}{\tau}t \right).$$

Відповідаємо на запитання задачі.

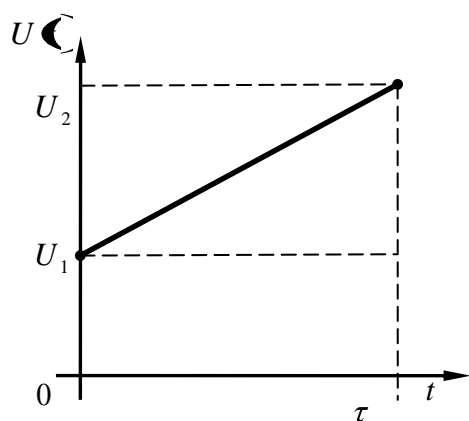


Рисунок 2.10 – Залежність від часу напруги на опорі

А) Сила струму в опорі дорівнює заряду, який проходить по опорі за одиницю часу:

$$I t = \frac{dq}{dt}.$$

В цій формулі dq – це заряд, який пройде через опір за малий проміжок часу dt від моменту t до моменту $t + dt$. Таким чином:

$$dq = I t dt.$$

Повний заряд q , що пройде по колу за проміжок часу від $t = 0$ до $t = \tau$, дорівнює сумі всіх зарядів dq , які пройшли по колу за кожний з елементарних проміжків dt :

$$\begin{aligned} q &= \int dq = \int_0^{\tau} I t dt = \frac{1}{R} \cdot \int_0^{\tau} \left(U_1 + \frac{U_2 + U_1}{\tau} t \right) dt = \\ &= \frac{\tau}{R U_2 - U_1} \int_0^{\tau} \left(U_1 + \frac{U_2 - U_1}{\tau} t \right) d \left(U_1 + \frac{U_2 - U_1}{\tau} t \right) = \\ &= \frac{\tau}{R U_2 - U_1} \cdot \frac{1}{2} \left(U_1 + \frac{U_2 - U_1}{\tau} t \right)^2 \Big|_0^{\tau} = \frac{\tau}{2R \cdot U_2 - U_1} U_2^2 - U_1^2 = \frac{U_2 + U_1}{2R} \cdot \tau. \end{aligned}$$

Б) Кількість теплоти Q , що виділяється на опорі протягом dt , пов'язана з миттєвим значенням теплової потужності $P(t)$ на опорі співвідношенням $P t = \frac{dQ}{dt}$. З іншого боку, за законом Джоуля – Ленца, $P t = I^2 t R$. Звідси

$\frac{dQ}{dt} = I^2 t R$. Далі, враховуючи, що $dQ = I^2 t \cdot R dt = \frac{1}{R} \left(U_1 + \frac{U_2 - U_1}{\tau} t \right)^2 dt$, отримаємо:

$$\begin{aligned} Q &= \int dQ = \frac{1}{R} \int_0^{\tau} \left(U_1 + \frac{U_2 - U_1}{\tau} t \right)^2 dt = \frac{\tau}{R U_2 - U_1} \int_0^{\tau} \left(U_1 + \frac{U_2 - U_1}{\tau} t \right) d \left(U_1 + \frac{U_2 - U_1}{\tau} t \right) = \\ &= \frac{\tau}{R U_2 - U_1} \cdot \frac{1}{3} \left(U_1 + \frac{U_2 - U_1}{\tau} t \right)^3 \Big|_0^{\tau} = \frac{\tau}{3R U_2 - U_1} U_2^3 - U_1^3 = \frac{\tau \cdot U_1^2 + U_1 U_2 + U_2^2}{3R}. \end{aligned}$$

$$\text{Відповідь: а) } q = \frac{U_1 + U_2}{2R} \cdot \tau; \quad \text{б) } Q = \frac{U_1^2 + U_1 U_2 + U_2^2}{3R} \cdot \tau.$$

2.11 Електричний струм. Закон Джоуля – Ленца

Яка кількість теплоти Q виділиться в нагрівачі з опором R при проходженні через нього заряду q , якщо струм в нагрівачі:

а) рівномірно зменшувався до нуля протягом часу Δt ;

- б) монотонно зменшувався до нуля так, що за кожні Δt секунд він зменшувався удвічі.

Розв'язання:

А) Сила струму зв'язана із зарядом співвідношенням $I \cdot t = \frac{dq}{dt}$.

За умовою задачі, струм в нагрівачі рівномірно зменшувався до нуля протягом часу Δt , тобто математично це можна записати так:

$$I(t) = \alpha(\Delta t - t); \quad 0 \leq t \leq \Delta t, \quad (2.11.1)$$

де α – деякий постійний коефіцієнт, пов'язаний, очевидно, з зарядом q , що пройшов по колу. Щоб знайти значення цього коефіцієнта, проведемо інтегрування залежності (2.11.1) по часу, тобто виразимо величину заряду q через α :

$$q = \int_0^{\Delta t} I dt = \int_0^{\Delta t} \alpha (\Delta t - t) dt = \left(\alpha \Delta t \cdot t - \frac{\alpha t^2}{2} \right) \Big|_0^{\Delta t} = \frac{\alpha \Delta t^2}{2}, \text{ звідки } \alpha = \frac{2q}{\Delta t^2}.$$

Підставивши отримане значення α у формулу (2.11.1), отримаємо

$$I(t) = \alpha(\Delta t - t) = \frac{2q}{\Delta t^2} (\Delta t - t) = \frac{2q}{\Delta t} \left(1 - \frac{t}{\Delta t} \right).$$

Щоб знайти кількість теплоти, яка виділиться в нагрівачі опором R , скористаємось законом Джоуля – Ленца. Згідно з законом, теплова потужність, що виділяється на опорі,

$$P \cdot t = \frac{dQ}{dt} = I^2 \cdot t \cdot R,$$

де dQ – кількість теплоти, яка виділяється на опорі R протягом dt :

$$dQ = I^2 R dt.$$

Повну кількість теплоти, яка виділяється на опорі за проміжок часу $0 \leq t \leq \Delta t$, знайдемо інтегруванням:

$$Q = \int_0^{\Delta t} I^2 \cdot t \cdot R dt = \frac{4q^2}{\Delta t^2} R \int_0^{\Delta t} \left(1 - \frac{t}{\Delta t} \right)^2 dt.$$

Виконавши інтегрування, отримаємо $Q = \frac{4q^2 R}{3\Delta t}$.

Б) Задача розв'язується аналогічно. У цьому випадку залежність сили струму від часу запишемо у вигляді

$$I \cdot t = \alpha \cdot 2^{-\frac{t}{\Delta t}}, \quad \text{де } \alpha = \text{const}.$$

$$q = \int_0^{\infty} \alpha \cdot 2^{-\frac{t}{\Delta t}} dt = -\frac{\alpha \Delta t}{\ln 2} \cdot 2^{-\frac{t}{\Delta t}} \Big|_0^{\infty} = \frac{\alpha \Delta t}{\ln 2} \Rightarrow \alpha = \frac{q \cdot \ln 2}{\Delta t}.$$

$$Q = \int_0^{\infty} I^2 R dt = \int_0^{\infty} \frac{Rq^2 \ln^2 2}{\Delta t^2} \cdot 2^{-\frac{2t}{\Delta t}} dt = \frac{Rq^2 \ln^2 2}{\Delta t^2} \cdot \left(-\frac{\Delta t}{2 \ln 2} \right) \cdot 2^{-\frac{2t}{\Delta t}} \Big|_0^{\infty} = \frac{Rq^2}{\Delta t} \cdot \frac{\ln 2}{2}.$$

Відповідь: а) $Q = \frac{4q^2 R}{3\Delta t}$; б) $Q = \frac{Rq^2}{\Delta t} \cdot \frac{\ln 2}{2}$.

2.12 Закон Біо – Савара – Лапласа. Магнітне поле лінійного струму

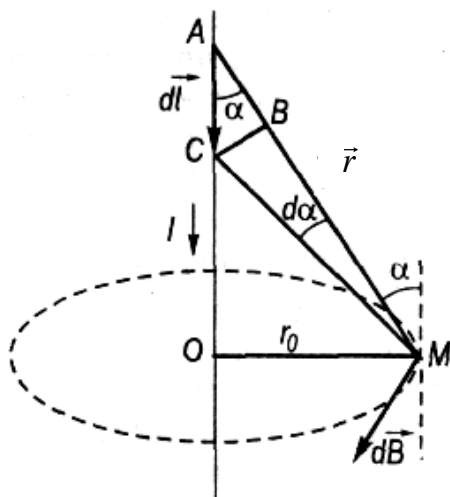


Рисунок 2.12.1 – Розрахунок магнітного поля прямолінійного струму

Користуючись законом Біо – Савара – Лапласа, обчислити індукцію магнітного поля, утвореного

- ділянкою прямолінійного провідника;
- нескінченно довгим прямолінійним провідником зі струмом I в точці M , розташованій на відстані r_0 від провідника (рисунки 2.12.1 та 2.12.2).

Розв'язання:

А) Щоб обчислити інду-

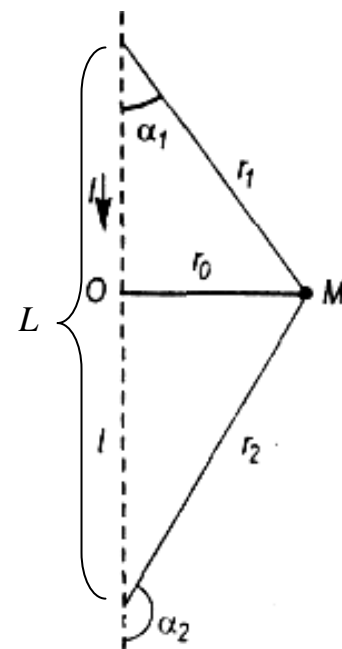


Рисунок 2.12.2 – Вибір меж інтегрування

кцію магнітного поля \vec{B} в точці M на відстані r_0 від прямолінійного провідника зі струмом, поділимо його на нескінченно малі (елементарні) ділянки dl і знайдемо магнітну індукцію поля, створюваного цією ділянкою в точці M . За законом Біо – Савара – Лапласа

$$d\vec{B} = \frac{\mu_0}{4\pi} \cdot \frac{I [d\vec{l}, \vec{r}]}{r^2},$$

або, у скалярній формі,

$$dB = \frac{\mu_0}{4\pi} \frac{Idl \sin \alpha}{r^2}.$$

У точці M напрями елементарних векторів $d\vec{B}$ від усіх ділянок $d\vec{l}$ однакові (направлені перпендикулярно до площини рисунка, до нас). Тому модуль векторної суми усіх $d\vec{B}$ дорівнюватиме сумі їх модулів dB , отже при інтегруванні можна користуватися безпосередньо скалярною формою закону Біо – Савара – Лапласа:

$$B = \frac{\mu_0}{4\pi} \int_L \frac{Idl \sin \alpha}{r^2},$$

де інтегрування проводиться по усьому провіднику.

Перейдемо в інтегралі до однієї незалежної змінної – кута α . З *рисунка 2.12.1* маємо: $r = \frac{r_0}{\sin \alpha}$.

Відрізок BC замінимо елементом дуги радіуса r , яка опирається на нескінченно малий центральний кут $d\alpha$, а саме $BC = r \cdot d\alpha$. Тоді

$$dl = \frac{BC}{\sin \alpha} = \frac{rd\alpha}{\sin \alpha} = \frac{r_0 d\alpha}{\sin^2 \alpha}.$$

Підставивши значення r і dl в підінтегральну функцію, а також врахувавши межі інтегрування: від α_1 (початок) до α_2 (кінець ділянки провідника) в напрямку струму (*рисунок 2.12.2*), одержимо:

$$B = \frac{\mu_0 I}{4\pi r_0} \int_{\alpha_1}^{\alpha_2} \sin \alpha d\alpha.$$

Після інтегрування отримаємо

$$B = \frac{\mu_0 I}{4\pi r_0} (\cos \alpha_1 - \cos \alpha_2).$$

Б) Для нескінченно довгого провідника $\alpha_1 \rightarrow 0$, $\alpha_2 \rightarrow \pi$. За цих умов

$$B_0 = \frac{\mu_0 I}{2\pi r_0}.$$

Відповідь: а) $B = \frac{\mu_0 I}{4\pi r_0} (\cos \alpha_1 - \cos \alpha_2)$; б) $B_0 = \frac{\mu_0 I}{2\pi r_0}$.

2.13 Закон Біо – Савара – Лапласа. Магнітне поле кругового струму

Користуючись законом Біо – Савара – Лапласа, обчислити індукцію магнітного поля кругового струму силою I і радіусом r_0 :

- у точці O' , віддаленій уздовж осі Z від центра кола O на відстань h (*рисунок 2.13*);
- у центрі кола.

Розв'язання:

А) Як і у попередньому випадку, розіб'ємо провідник зі струмом на елементарні ділянки dl , одна з яких показана на *рисунку*. За законом Біо – Савара – Лапласа індукція елементарного магнітного поля dB в точці O' , створювана такою ділянкою, буде дорівнювати:

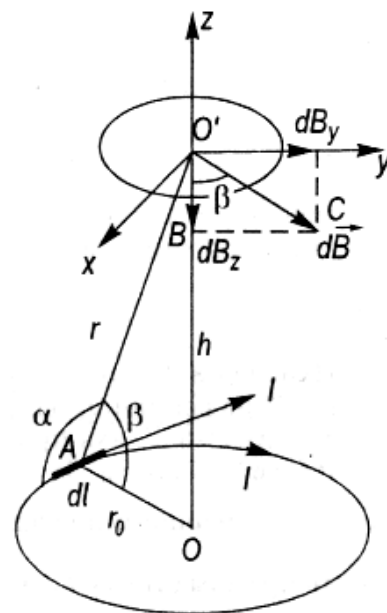


Рисунок 2.13 – Розрахунок магнітного поля на осі кругового струму

$$dB = \frac{\mu_0}{4\pi} \frac{Idl \sin \alpha}{r^2}, \quad \text{де } \alpha = \frac{\pi}{2}.$$

З рисунка видно, що в точці O' вектори елементарних полів $d\vec{B}$ від різних ділянок кола не співпадають за напрямками, отже модуль суми цих векторів не буде дорівнювати сумі їх модулів. Дійсно, напрям вектора $d\vec{B}$ перпендикулярний до площини, в якій лежать вектори $d\vec{l}$ та \vec{r} , тобто нахилений під деяким кутом β до осі Z . В той же час векторна сума \vec{B} усіх векторів $d\vec{B}$ лежить на осі Z .

Для розв'язання задачі розкладемо вектор $d\vec{B}$ на складові: $d\vec{B}_z$ – вздовж осі Z та $d\vec{B}_\perp$ – перпендикулярно Z (на рисунку одна з таких складових позначена $d\vec{B}_y$). Очевидно, що при інтегруванні складові $d\vec{B}_\perp$ взаємно компенсуються і результуюче значення складової поля $\vec{B}_\perp = 0$. Одночасно складові, напрямлені вздовж Z , мають однакові напрями (однаковий знак проєкцій на Z), тому їх проєкції можна додати алгебраїчно. Отже

$$B = \int_C dB_z,$$

де інтегрування проводиться вздовж усього кола.

З рисунка видно, що $dB_z = dB \cos \beta$.

З рівності кутів $\angle O'AO$ та $\angle B O'C$ (як кутів, сторони яких взаємно перпендикулярні: $d\vec{B} \perp \vec{r}$, $O'B \perp OA$) впливає подібність прямокутних трикутників AOO' та $O'BC$. З трикутника AOO' маємо:

$$\cos \beta = \frac{r_0}{r} = \frac{r_0}{\sqrt{r_0^2 + h^2}}, \quad \text{тоді}$$

$$B_z = \frac{\mu_0}{4\pi} \frac{I}{r_0^2 + h^2} \frac{r_0}{\sqrt{r_0^2 + h^2}} \int_0^{2\pi r_0} dl = \frac{\mu_0 I r_0^2}{2 r_0^2 + h^2}{}^{3/2}.$$

Б) Індукцію магнітного поля в центрі кругового струму B_0 знайдемо, підставивши в отриманий результат значення $h = 0$:

$$B_0 = \frac{\mu_0 I}{2r_0}.$$

$$\text{Відповідь: а) } B_z = \frac{\mu_0 I r_0^2}{2 r_0^2 + h^2}{}^{3/2}; \quad \text{б) } B_0 = \frac{\mu_0 I}{2r_0}.$$

2.14 Взаємозв'язок магнітного та електричного полів

Вздовж мідного прямого провідника круглого перерізу радіусом $R = 5 \text{ мм}$ тече струм $I = 50 \text{ А}$. Знайти різницю потенціалів між віссю провідника та його поверхнею. Концентрація електронів провідності у міді $n = 0,9 \cdot 10^{23} \text{ см}^{-3}$.

Розв'язання

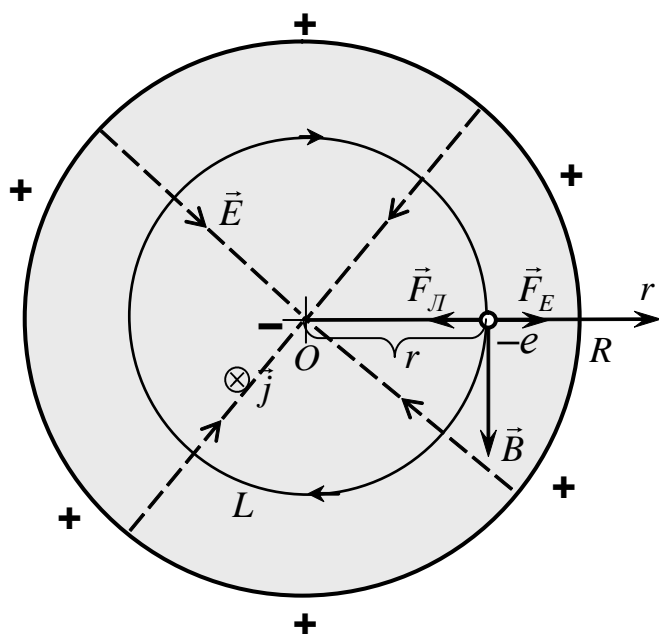


Рисунок 2.14 – Магнітне та електричне поля всередині провідника зі струмом

З'ясуємо причину виникнення різниці потенціалів між віссю провідника та його поверхнею. На *рисунку 2.14* зображено поперечний переріз провідника зі струмом. Напрямок струму у провіднику показаний за допомогою вектора густини струму \vec{j} – перпендикулярно до площини рисунку, від нас. При протіканні такого струму всередині провідника утворюється магнітне поле. Перш за все звернімо увагу на те, що струм розподілений рівномірно по площині перерізу провідника $\vec{j} = \text{const}$, тобто симетрично відносно осі трубки. Отже і магнітне поле буде симетричне відносно осі. Це означає, що величина

індукції магнітного поля $B r$ на певній відстані r від осі буде однаковою незалежно від напрямку на точку спостереження. З цього, у свою чергу, випливає, що силові лінії магнітного поля будуть мати вигляд концентричних кіл, центри яких розташовані на осі трубки. Напрямок силових ліній пов'язаний з напрямком струму (напрямом вектора \vec{j}) «правилом свердлика».

На кожний електрон провідності, який рухається у магнітному полі, діятиме сила Лоренца, напрям якої встановлюємо за формулою $\vec{F}_L = q[\vec{v}\vec{B}]$. Визначаючи напрям сили Лоренца за допомогою цієї формули слід врахувати знак заряду. У нашому випадку заряд електрона – від'ємний $q = -e$, з чого випливає:

- напрямок руху вільних електронів у провіднику протилежний напрямку вектора \vec{j} $\vec{v} \uparrow \downarrow \vec{j}$;
- напрямок сили Лоренца протилежний напрямку векторного добутку $[\vec{v}\vec{B}]$.

Отже, на кожний електрон у провіднику буде діяти сила Лоренца, напрямлена до осі провідника. Під дією цих сил електрони повинні дещо зібратися

ближче до осі провідника (віддалитися від його поверхні), продовжуючи свій рух вздовж провідника. В результаті поблизу поверхні провідника концентрація вільних електронів зменшиться і утвориться частково некомпенсований додатний заряд іонної решітки металу, а поблизу осі навпаки – концентрація електронів зросте і утвориться надлишковий негативний заряд. Таким чином під дією сили Лоренца різнойменні електричні заряди всередині провідника частково розділяються у просторі: «мінус» – на осі, «плюс» – на поверхні провідника (рисунок).

Поява розділених у просторі різнойменних електричних зарядів призведе до виникнення електричного поля \vec{E} всередині провідника у напрямі від поверхні до осі уздовж радіуса провідника (на рисунку силові лінії поля \vec{E} показані штриховими стрілками). Це поле також буде діяти на електрони з силою $\vec{F}_E = q\vec{E}$. При визначенні напрямку дії сили \vec{F}_E (рисунок 2.14) треба знов урахувати знак заряду $q = -e$. З рисунка 2.14 видно, що на кожний вільний електрон у провіднику будуть діяти дві протилежно направлені сили: \vec{F}_L та \vec{F}_E , які після досягнення рівноваги у розподілі зарядів зрівняються між собою по величині: $F_L = F_E$.

Розписуючи умову рівноваги $F_L = F_E$, отримаємо $qvB = qE$, або

$$vB = E. \quad (2.14.1)$$

Оберемо на відстані r від осі $0 \leq r \leq R$ точку і знайдемо величину магнітної індукції B у цій точці, скориставшись теоремою про циркуляцію вектора \vec{B} у інтегральній формі:

$$\oint_L \vec{B} d\vec{l} = \mu_0 \int_{S_L} \vec{j} d\vec{S}, \quad (2.14.2, a)$$

де інтеграл у правій частині береться по поверхні S_L , обмеженій замкнутою кривою L , по якій обчислюється циркуляція. Якщо при обчисленні циркуляції рухатися по шляху L , який співпадає з силовою лінією поля \vec{B} , тобто по колу радіуса r (рисунок), то, врахувавши напрямки векторів \vec{B} , $d\vec{l}$, \vec{j} та $d\vec{S}$, формулу (2.14.2, a) можна записати у спрощеному вигляді:

$$\oint_L B dl = \mu_0 \int_{S_L} j dS, \quad (2.14.2, б)$$

або, виносячи за знаки інтегралів сталі множники B та j ,

$$B \oint_L dl = \mu_0 j \int_{S_L} dS, \quad (2.14.2, в)$$

де $\oint_L dl = 2\pi r$ – довжина шляху інтегрування, а $\int_{S_L} dS = \pi r^2$ – площа круга,

який охоплює шлях інтегрування L . Після підстановки таких величин у формулу (2.14.2, в) одержимо

$$B r \cdot 2\pi r = \mu_0 j \cdot \pi r^2,$$

звідки

$$B r = \frac{\mu_0 j}{2} r. \quad (2.14.3)$$

Підставивши цей вираз у формулу (2.14.1), отримаємо

$$E r = v \frac{\mu_0 j}{2} r. \quad (2.14.4)$$

З електронної теорії провідності відомо, що густина струму j пов'язана з дрейфовою швидкістю вільних носіїв заряду v співвідношенням $j = qnv$, або, у нашому випадку

$$j = env,$$

де $e = 1,6 \cdot 10^{-19}$ Кл – елементарний заряд, n – концентрація носіїв заряду у провіднику. Замінивши у формулі (2.14.4) швидкість дрейфу величиною $v = \frac{j}{en}$,

знайдемо

$$E r = \frac{\mu_0 j^2}{2en} r. \quad (2.14.5)$$

Формули (2.14.3) та (2.14.5) свідчать, що усередині провідника як магнітна індукція $B r$, так і напруженість електричного поля $E r$ збільшуються пропорційно відстані r до осі провідника.

Різницю потенціалів між віссю провідника $r=0$ та точками на поверхні провідника $r=R$ знаходимо інтегруванням виразу (2.14.5) у відповідних межах:

$$\varphi_0 - \varphi_R = \int_0^R E_r r dr = -\frac{\mu_0 j^2}{2en} \int_0^R r dr = -\frac{\mu_0 j^2 R^2}{4en}.$$

Ми врахували, що проекція вектора \vec{E} на напрям осі r від'ємна.

Нарешті, виразивши густину струму через силу струму та площу перерізу провідника: $j = \frac{I}{\pi R^2}$, одержимо остаточну відповідь:

$$\varphi_0 - \varphi_R = -\frac{\mu_0 j^2 R^2}{4en} = -\frac{\mu_0 I^2}{4\pi^2 R^2 en}.$$

Розрахунок:

$$\varphi_0 - \varphi_R = -\frac{\mu_0 I^2}{4\pi^2 R^2 en} = -\frac{4\pi \cdot 10^{-7} \cdot 50^2}{4\pi^2 \cdot 5 \cdot 10^{-3} \cdot 1,6 \cdot 10^{-19} \cdot 0,9 \cdot 10^{29}} = -2 \cdot 10^{-12} \text{ В}.$$

$$\text{Відповідь: } \varphi_0 - \varphi_R = -\frac{\mu_0 I^2}{4\pi^2 R^2 en} = -2 \cdot 10^{-12} \text{ В}.$$

2.15 Магнітний момент

Заряд $q > 0$ рівномірно розподілений по об'єму кулі радіуса R , яка обертається навколо осі, що проходить через її центр, з кутовою швидкістю ω . Знайти відповідний магнітний момент p_M кулі (рисунки 2.15).

Розв'язання

Будь-яку систему з розподіленням зарядом можна розглядати як систему точкових зарядів, умовно поділивши її на безліч нескінченно малих за розмірами фрагментів (об'ємів dV у тривимірному зарядженому тілі, площадок dS на зарядженій поверхні або відрізків dl на зарядженій лінії). На кожному з таких фрагментів міститься нескінченно малий заряд dq , який надалі розглядається як точковий.

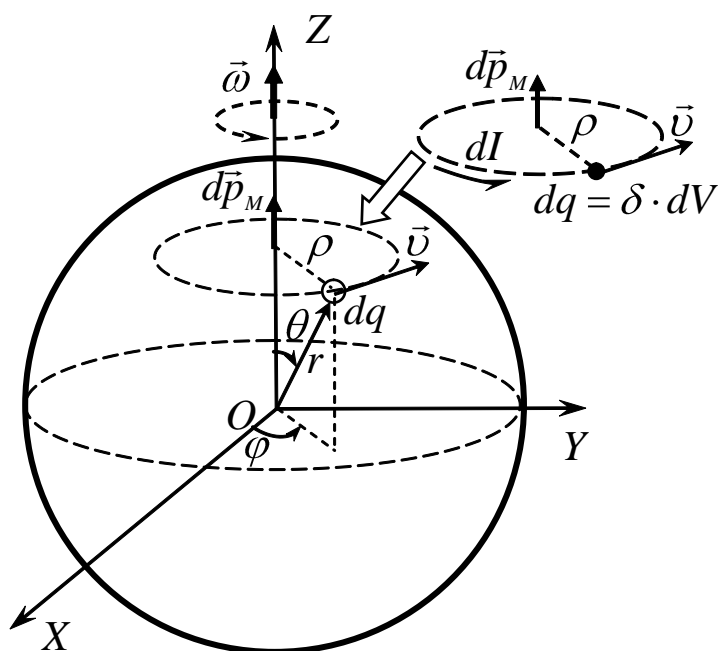


Рисунок 2.15 – До розрахунку магнітного моменту зарядженої кулі

Будемо розв'язувати задачу у сферичній системі координат. Розіб'ємо заряджену кулю на безліч нескінченно малих об'ємів і розглянемо один з них, позначивши його dV . Заряд, розміщений в межах цього елементарного об'єму $dq = \delta \cdot dV$, де δ – об'ємна густина заряду кулі. Цей заряд, обертаючись разом з кулею, рухається по колу радіуса ρ навколо осі Z і створює еквівалентний електричний струм величиною $dI = \frac{dq}{T} = \frac{\omega \cdot dq}{2\pi}$, де T – період обертання кулі навколо осі.

Вектор магнітного моменту плоского витка зі струмом $\vec{p}_M = IS \cdot \vec{n}$, де I – сила струму у витку, S – площа витка; \vec{n} – додатна одинична нормаль до площі витка, напрям якої пов'язаний з напрямом струму у витку «правилом свердлика» (рисунки 2.15).

Елементарний магнітний момент, який створює заряд dq , обертаючись навколо осі:

$$dp_M = dI \cdot S = \frac{\omega \cdot dq}{2\pi} \cdot \pi \rho^2 = \frac{1}{2} \omega \cdot \rho^2 \cdot \delta dV.$$

Виразимо величини в останньому співвідношенні через сферичні координати r, θ, φ , а саме: $\rho = r \sin \theta$; $dV = r^2 \sin \theta dr d\theta d\varphi$. Отримаємо

$$dp_M = \frac{1}{2} \delta \omega r^4 \sin^3 \theta dr d\theta d\varphi.$$

Вектори усіх елементарних магнітних моментів ма-

ють однаковий напрям – вздовж осі Z . Тому інтегрування проводимо для модулів цих векторів по об'єму кулі:

$$p_M = \int_V dp_M = \frac{1}{2} \delta \omega \int_0^{2\pi} d\varphi \int_0^\pi \sin^3 \theta d\theta \int_0^R r^4 dr = \frac{1}{2} \delta \omega \cdot 2\pi \cdot \frac{4}{3} \cdot \frac{R^5}{5} = \frac{4\pi}{15} \delta \omega R^5.$$

Врахувавши, що об'ємна густина заряду кулі $\delta = \frac{q}{V_{\text{Кулі}}} = \frac{q}{\frac{4}{3}\pi R^3}$, отримаємо

відповідь.

Відповідь: $p_M = \frac{1}{5} q R^2 \omega.$

2.16 Магнітний потік

Квадратна рамка зі стороною a і довгий прямий провідник зі струмом I знаходяться в одній площині, як показано на *рисунку 2.16*. Відстань від провідника до найближчої до нього сторони рамки дорівнює b . Знайти магнітний потік через рамку.

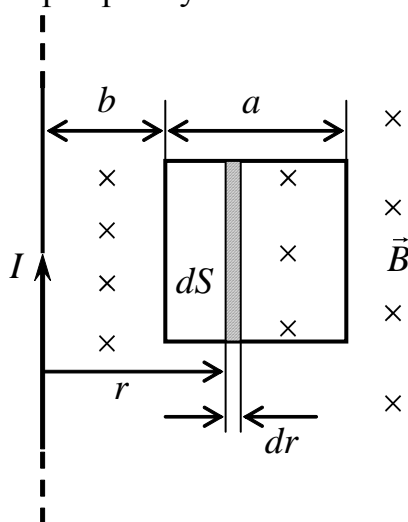


Рисунок 2.16 – Розрахунок магнітного потоку через квадратну рамку

Розв'язання

Будемо вважати провідник нескінченно довгим. Тоді індукція магнітного поля на відстані r від провідника (див. *приклад 2.12*)

$$B(r) = \frac{\mu_0 I}{2\pi r},$$

тобто поле не буде однорідним, а буде зменшуватись зі зростанням r . При цьому лінії поля перетинають площину рамки під прямим кутом, від нас.

Оскільки магнітне поле в межах рамки змінюється за величиною, розіб'ємо площину, обмежену сторонами провідника

на елементарні прямокутні площадки довжиною a і шириною dr , розташовані паралельно провіднику. На положення такої елементарної площадки відносно провідника буде вказувати змінна r , тоді ширину площадки dr можна розглядати як нескінченно малий приріст координати r (диференціал). Сама ж координата r в межах рамки змінюватиметься від $r=b$ до $r=b+a$. Площа такої малої площадки $dS = a \cdot dr$.

При такому виборі розташування елементарної площадки індукцію магнітного поля в межах dS можна вважати однаковою в усіх її точках. Тоді елементарний магнітний потік через dS буде

$$d\Phi = B_n dS = B(r) dS = \frac{\mu_0 I}{2\pi r} a dr.$$

Для відповіді на запитання задачі обчислимо інтеграл

$$\begin{aligned}\Phi &= \int_s d\Phi = \frac{\mu_0 I a}{2\pi} \int_b^{b+a} \frac{dr}{r} = \\ &= \frac{\mu_0 I a}{2\pi} \ln \frac{a+b}{b} = \frac{\mu_0 I a}{2\pi} \ln \left(1 + \frac{a}{b} \right).\end{aligned}$$

$$\text{Відповідь: } \Phi = \frac{\mu_0 I a}{2\pi} \ln \left(1 + \frac{a}{b} \right).$$

2.17 Електромагнітна індукція

Магнітний потік через нерухомий контур з опором R змінюється протягом проміжку часу τ за законом $\Phi(t) = at(\tau - t)$. Знайти, як змінюються при цьому у часі:

- електрорушійна сила індукції $E_i(t)$;
- сила струму у контурі $I(t)$;
- теплова потужність на опорі $P(t)$;
- кількість тепла Q , що виділилось у контурі протягом часу $0 \leq t \leq \tau$.

Побудувати графіки цих залежностей у спільному масштабі часу.

Індуктивністю контуру знехтувати.

Розв'язання

Аналізуючи умову задачі, бачимо, що магнітний потік змінюється за квадратичним законом, причому дорівнює нулю в початковий та кінцевий моменти часу. Це можливо, наприклад, коли індукція магнітного поля, яке перетинає площу контуру, буде змінюватись за аналогічною залежністю. Тобто контур знаходиться у імпульсному магнітному полі. Форма такого імпульсу показана на *рисунку 2.17, а*.

Відповідаємо на запитання задачі.

А) *ерс* індукції знаходимо за основним законом електромагнітної індукції (законом Фарадея):

$$E_i(t) = -\frac{d\Phi(t)}{dt}.$$

Підставивши в цей закон задану умовою задачі залежність $\Phi(t)$, отримаємо

$$E_i(t) = 2at - a\tau.$$

Бачимо, що протягом проміжку часу від нуля до τ *ерс* індукції в контурі рівномірно зростає від значення $E_i(0) = -a\tau$ до значення $E_i(\tau) = +a\tau$ (*рисунок 2.17, б*). Зміна знаку *ерс* означає зміну напрямку її дії на протилежний. Це відбувається в момент $t = \frac{\tau}{2}$.

Б) Сила струму в контурі у будь-який момент часу визначається законом

Ома для замкнутого кола: $I t = \frac{E_i t}{R}$. Після підстановки даних отримаємо

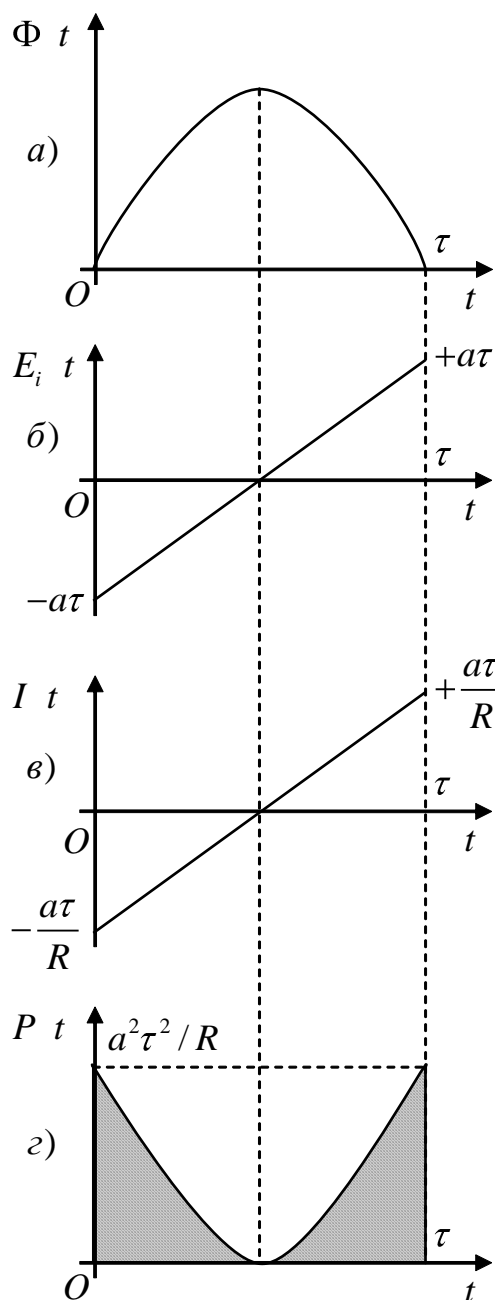


Рисунок 2.17 – Розрахунок кількості теплоти, що виділяється у контурі

$$I t = \frac{1}{R} 2at - a\tau .$$

Бачимо, що струм у контурі змінюється рівномірно, як і $E_i t$, від значення

$$I 0 = -\frac{a\tau}{R} \text{ до значення } I \tau = +\frac{a\tau}{R} \text{ (рисунок 2.17, в).}$$

У момент часу $t = \frac{\tau}{2}$ напрям струму в контурі також змінюється на протилежний. Отже, за час протікання струму величина заряду, який проходить по колу, дорівнює нулю.

В) Теплова потужність на опорі R змінюється у часі згідно з законом Джоуля – Ленца: $P t = I^2 t R$. Підставивши в цей закон отриману раніше залежність $I t$, знайдемо

$$P t = \frac{2at - a\tau}{R}^2 .$$

Бачимо (рисунок 2.17, г), що теплова потужність, яка виділяється у контурі $P t$ змінюється з часом за квадратичною залежністю, сягаючи максимальних значень у початковий та кінцевий моменти:

$$P 0 = P \tau = \frac{a^2\tau^2}{R}, \text{ при цьому } P\left(\frac{\tau}{2}\right) = 0 .$$

Відмітимо, що незважаючи на зміну напрямку струму, теплова потужність на опорі продовжує виділятися, тобто вона не залежить від напрямку струму, а лише від його величини.

Г) Для відповіді на останнє запитання скористаємось зв'язком між тепловою потужністю та кількістю теплоти, що виділяється на опорі: $P t = \frac{dQ}{dt}$. З

цієї залежності витікає, що кількість теплоти, яка виділиться на опорі протягом малого проміжку часу від t до $t + dt$, становить $dQ = P t dt$.

Повну кількість теплоти, яка виділиться у колі за весь час протікання струму, знаходимо інтегруванням:

$$Q = \int dQ = \int_0^{\tau} P \, dt = \frac{1}{R} \int_0^{\tau} 2at - at^2 \, dt.$$

На графіку залежності P від t ця кількість теплоти чисельно дорівнює площі під кривою на *рисунку 2.17, г*.

Після інтегрування отримаємо

$$\text{Відповідь: } Q = \frac{a^2 \tau^3}{3R}.$$

2.18 Закон електромагнітної індукції. Закон Джоуля – Ленца

Провідник EF рухається зі сталою швидкістю \vec{v} , замикаючи два провідника AC та AD , які утворюють між собою кут α (*рисунк 2.18*). Перпендикулярно до площини системи провідників прикладене постійне однорідне магнітне поле індукції \vec{B} . Знайти повну кількість теплоти, яка виділиться у колі за час руху провідника EF від точки A до точки C . Опір одиниці довжини провідника EF дорівнює R_0 . Опором провідників AC та AD знехтувати. $AC = l_0$, $EF \perp AC$, $\vec{v} \perp EF$.

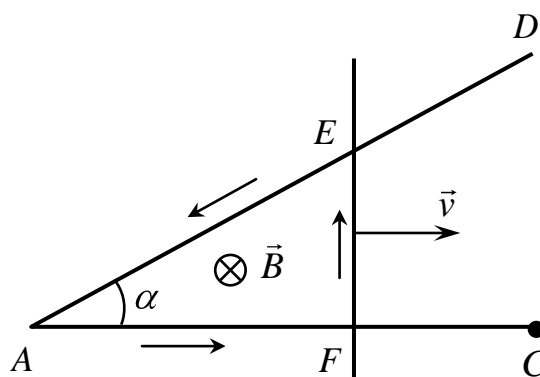


Рисунок 2.18 – Рух провідної перетинки EF у однорідному магнітному полі

Розв'язання

Внаслідок руху перемички EF зростає площа замкнутого провідного кола AEF , а отже і магнітний потік $\Phi = BS_{AEF}$. При цьому у колі виникає індукційний струм, напрям якого можна визначити за правилом Ленца (показано на *рисунку 2.18*).

Площа контуру у момент часу t від початку руху перемички $S_{AEF} = \frac{1}{2} AF \cdot EF$, де $AF = vt$; $EF = AF \cdot \operatorname{tg} \alpha = vt \cdot \operatorname{tg} \alpha$. Отже $S_{AEF} = \frac{1}{2} v^2 t^2 \cdot \operatorname{tg} \alpha$, а залежність магнітного потоку від часу буде мати вигляд

$$\Phi(t) = \frac{1}{2} B v^2 t^2 \cdot \operatorname{tg} \alpha.$$

За законом Фарадея при цьому у контурі виникає ерс індукції пропорційна швидкості зміни магнітного потоку через площину контуру.

$$E_i = \frac{d\Phi}{dt} = Bv^2t \cdot \operatorname{tg}\alpha.$$

Силу струму у контурі знайдемо за законом Ома для повного кола. При цьому врахуємо, що опір кола буде змінюватись з часом за залежністю

$$R_t = R_0 \cdot EF = R_0 \cdot vt \cdot \operatorname{tg}\alpha.$$

Отже

$$I_t = \frac{E_i}{R_{EF}} = \frac{E_i}{R_t} = \frac{Bv^2t \cdot \operatorname{tg}\alpha}{R_0 \cdot vt \cdot \operatorname{tg}\alpha} = \frac{Bv}{R_0}.$$

Бачимо, що при переміщенні перемички у контурі протікає постійний струм. Теплову потужність, яка виділяється у колі (на опорі перемички) знайдемо за законом Джоуля – Ленца:

$$P_t = I^2 R_t = \left(\frac{Bv}{R_0}\right)^2 R_0 vt \cdot \operatorname{tg}\alpha = \frac{B^2 v^3 \operatorname{tg}\alpha}{R_0} t$$

Повна кількість теплоти, що виділиться у колі за час t_0 (час руху перемички від точки А до точки С) знайдемо інтегруванням потужності по часу:

$$Q = \int_0^{t_0} P_t dt = \frac{B^2 v^3 \operatorname{tg}\alpha}{R_0} \int_0^{t_0} t dt = \frac{B^2 v^3 \operatorname{tg}\alpha}{2R_0} t_0^2,$$

де $t_0 = \frac{l}{v}$. Підставивши це значення у попередню формулу, отримаємо

$$Q = \frac{B^2 v^3 \operatorname{tg}\alpha}{2R_0} t_0^2 = \frac{B^2 v^3 \operatorname{tg}\alpha}{2R_0} \left(\frac{l}{v}\right)^2 = \frac{B^2 vl^2 \operatorname{tg}\alpha}{2R_0}.$$

$$\text{Відповідь: } Q = \frac{B^2 vl^2 \operatorname{tg}\alpha}{2R_0}.$$

2.19 Самоіндукція. Перехідний процес

Соленоїд з індуктивністю $L = 100 \text{ мГн}$ та опором $R = 20 \text{ мОм}$ підключають до джерела, внутрішній опір якого дуже малий. Який заряд пройде через соленоїд від моменту підключення $t = 0$ до моменту $t_0 = 5 \text{ с}$ після замикання кола?

Розв'язання

Після замикання соленоїда на ерс E_0 у колі виникає екстраструм замикання

$$I_t = I_0 \left(1 - e^{-\frac{R}{L}t}\right),$$

де $I_0 = \frac{E_0}{R}$ – сила струму у соленоїді після завершення перехідного процесу.

Для розрахунку заряду, який пройде через соленоїд, поділимо проміжок часу від $t = 0$ до $t = t_0$ на такі короткі (нескінченно малі) інтервали dt , щоб протягом кожного такого відтинку часу силу струму можна було вважати наближено незмінною. Тоді елементарна кількість заряду dq , який пройде через соленоїд за цей проміжок dt ,

$$dq = I t dt = \frac{E_0}{R} \left(1 - e^{-\frac{R}{L}t} \right) dt.$$

Звідси після інтегрування по часу t у межах від 0 до t_0 знайдемо заряд, що пройшов через соленоїд:

$$q = \int_0^{t_0} I t dt = \frac{E_0}{R} \int_0^{t_0} \left(1 - e^{-\frac{R}{L}t} \right) dt = \frac{E_0}{R} \left(t + \frac{L}{R} e^{-\frac{R}{L}t} \right) \Big|_0^{t_0} = \frac{E_0}{R} \left(t_0 + \frac{L}{R} e^{-\frac{R}{L}t_0} - \frac{L}{R} \right),$$

або

$$q = \frac{E_0}{R} \left[t_0 - \frac{L}{R} \left(1 - e^{-\frac{R}{L}t_0} \right) \right].$$

Виконавши розрахунки, знайдемо $q \approx 184 \text{ Кл}$.

$$\text{Відповідь: } q = \frac{E_0}{R} \left[t_0 - \frac{L}{R} \left(1 - e^{-\frac{R}{L}t_0} \right) \right] \approx 184 \text{ Кл}.$$

2.20 Застосування закону збереження енергії

У схемі (рисунки 2.19) ключ K замкнено і режим кола стабілізувався. Яка кількість теплоти виділиться на опорі $5R$ після розмикання ключа? Внутрішнім опором джерела ϵ та випромінюванням електромагнітної енергії знехтувати.

Розв'язання

Для розв'язання задачі застосуємо «енергетичний» підхід, тобто будемо виходити з того, що загальна кількість теплоти

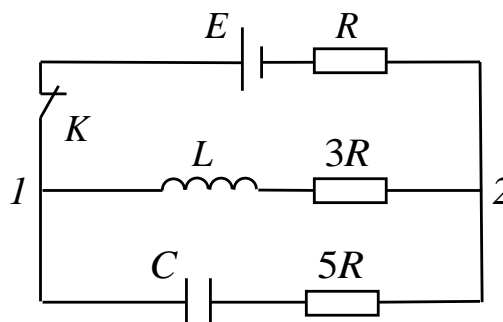


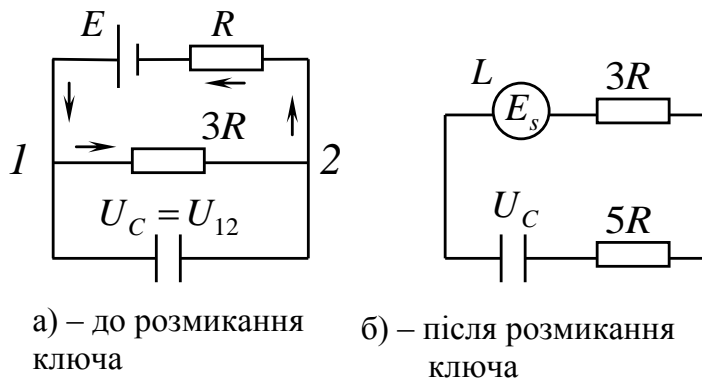
Рисунок 2.19 – До прикладу 2.20

$Q_{заг}$, яка виділиться у колі після розмикання ключа, дорівнює сумарній енергії магнітного поля котушки зі струмом та електричного поля зарядженого конденсатора до розмикання ключа.

Проаналізуємо роботу схеми до і після розмикання ключа.

До розмикання ключа (у вихідному стані) у колі діє постійна *ерс* ($E = const$), сили струмів та напруги на різних ділянках кола не змінюються з часом, і схему слід розглядати як коло постійного струму. За таких умов конденсатор буде заряджений до певної (сталого) напруги, і струм через нього дорівнює нулю. З цього випливає, що сила струму i , відповідно, спад напруги на опорі $5R$ також дорівнюють нулю, а напруга на конденсаторі $U_C = U_{12}$, де U_{12} – різниця потенціалів між вузлами 1 та 2.

Відсутність струму у вітці з конденсатором означає також, що струм існує лише у послідовному колі $E - K - L - 3R - R - E$ і на усіх ділянках цього кола однаковий. При протіканні постійного струму через індуктивність L *ерс* самоіндукції у котушці не виникає, спад напруги на котушці дорівнює нулю, отже котушка не впливає на силу струму у колі до розмикання ключа. Еквівалентна схема кола до розмикання ключа показана на *рисунку 2.20, а*.



а) – до розмикання ключа

б) – після розмикання ключа

Рисунок 2.20 – Еквівалентні схеми кола до і після розмикання ключа

Проте при проходженні струму по котушці у ній буде накопичена енергія магнітного поля $W_L = \frac{LI^2}{2}$. Силу струму у котушці (у колі) до розмикання ключа знайдемо за законом Ома для замкнутого кола:

$$I = \frac{E}{R + 3R} = \frac{E}{4R}. \quad (2.20.1)$$

Отже початковий запас енергії котушки

$$W_L = \frac{LI^2}{2} = \frac{LE^2}{32R^2}. \quad (2.20.2)$$

Напруга на конденсаторі U_C дорівнює спаду напруги на опорі $3R$:

$$U_C = U_{12} = I \cdot 3R = \frac{E}{4R} \cdot 3R = \frac{3}{4}E.$$

Енергію зарядженого конденсатора знайдемо за формулою

$$W_C = \frac{CU_C^2}{2} = \frac{1}{2}C \left(\frac{3}{4}E \right)^2 = \frac{9CE^2}{32}. \quad (2.20.3)$$

Загальна енергія, зосереджена у котушці і конденсаторі до розмикання ключа

$$W = W_L + W_C = \frac{LE^2}{32R^2} + \frac{9CE^2}{32} = \frac{E^2}{32R^2} L + 9CR^2. \quad (2.20.4)$$

Після розмикання ключа, згідно з законом збереження енергії, уся енергія, накопичена у котушці і конденсаторі, виділиться у вигляді теплоти на опорах зі струмом. Тобто загальна кількість теплоти, що виділиться на опорах після розмикання ключа, виражається *формулою 2.20.4*:

$$Q_{\text{заг}} = W_L + W_C = \frac{E^2}{32R^2} L + 9CR^2. \quad (2.20.5)$$

Після розмикання ключа (після відключення джерела *ерс* E) сила струму у новому колі починає змінюватись, прямуючи поступово до нуля. На цьому етапі струм у колі підтримується за рахунок дії *ерс* самоіндукції котушки E_s , а також напруги на конденсаторі, яка поступово спадає внаслідок розряду конденсатора. За таких умов залежність сили струму у колі від часу досить складна, а вигляд цієї залежності (затухаючі коливання або аперіодичний процес) визначається параметрами кола: L , C , R . Проте знайти кількість теплоти, яка виділиться на кожному з опорів після розмикання ключа, можна і не з'ясовуючи, як саме змінювався струм у колі. На *рисунку 2.20, б* зображена еквівалентна схема кола після розмикання ключа, з якої видно, що у будь-який момент часу сила струму у опорах $3R$ та $5R$ однакова (послідовне з'єднання). А згідно із законом Джоуля – Ленца $dQ = I^2 R \cdot dt$ при однакових струмах кількість теплоти, що виділяється за певний час на різних опорах, прямо пропорційна величині опорів. Тому для визначення тепловиділення на опорі $5R$ достатньо поділити загальну кількість теплоти $Q_{\text{заг}}$ (*формула 2.20.5*) пропорційно відповідним опорам, тобто скласти пропорцію:

$$\begin{aligned} Q_{\text{заг}} &\rightarrow 3R + 5R ; \\ Q_{5R} &\rightarrow 5R. \end{aligned}$$

Розв'язавши пропорцію, одержимо

$$Q_{5R} = \frac{5}{8} Q_{\text{зар}} = \frac{5}{8} \cdot \frac{E^2}{32R^2} L + 9CR^2 = \frac{5E^2}{256R^2} L + 9CR^2 .$$

Відповідь: $Q_{5R} = \frac{5E^2}{256R^2} L + 9CR^2 .$

3. Завдання для самоконтролю

Вектор напруженості електричного поля змінюється за залежністю $\vec{E}(x, y) = \vec{i} \cdot ax^2 y + \vec{j} \cdot \frac{ax^3}{3}$. Знайти потенціал $\varphi(x, y)$ поля.

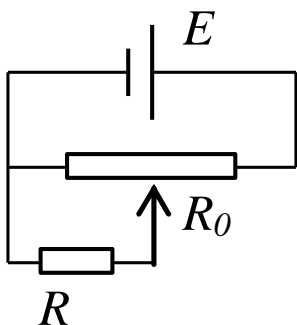
$$\text{Відповідь: } \varphi(x, y) = \frac{ax^3 y}{3} + C.$$

Електрон влітає у однорідне електричне поле напруженістю \vec{E} з початковою швидкістю v_0 , яка утворює з напрямом поля гострий кут α . Знайти найменше значення v_{\min} , яке приймає швидкість електрона під час його руху у полі, а також радіус кривизни R траєкторії у момент, коли $v = v_{\min}$.

$$\text{Відповідь: } v_{\min} = v_0 \sin \alpha; \quad R = \frac{mv_0^2 \sin^2 \alpha}{eE}.$$

Для деякого опору не виконується закон Ома, і залежність сили струму (у амперах) від прикладеної до опору напруги (у вольтах) має вигляд $I = 0,004 V^4$. Цей опір встановлено у плече мосту Уїтстона, решта опорів якого однакові і дорівнюють 16 Ом . Міст живиться зовнішньою батареєю. Визначити струм джерела для збалансованого мосту.

$$\text{Відповідь: } 312,5 \text{ мА}$$



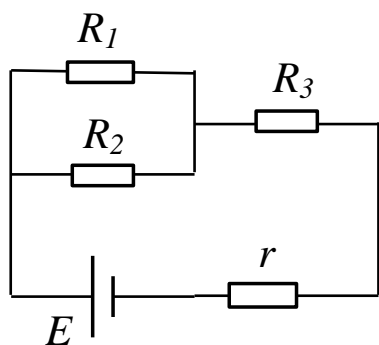
Знайти напругу на опорі R , коли рухомий контакт реостата встановлено посередині потенціометра R_0 .

$$\text{Відповідь: } U = \frac{2ER}{R_0 + 4R}.$$

Два опори $R_1 = 100 \text{ Ом}$ та $R_2 = 200 \text{ Ом}$ з'єднані послідовно і підключені до джерела живлення, ерс якого $E = 100 \text{ В}$, а внутрішній опір дорівнює нулю. Вольтметр опором $R_V = 200 \text{ Ом}$ підключають по чергово до опору R_1 і R_2 . Знайти:

- покази вольтметра у кожному випадку;
- напруги на опорах до початку вимірювань.

$$\text{Відповідь: а) } V_1 = 25 \text{ В; } V_2 = 50 \text{ В; б) } V_1 = 33,3 \text{ В; } V_2 = 66,7 \text{ В.}$$

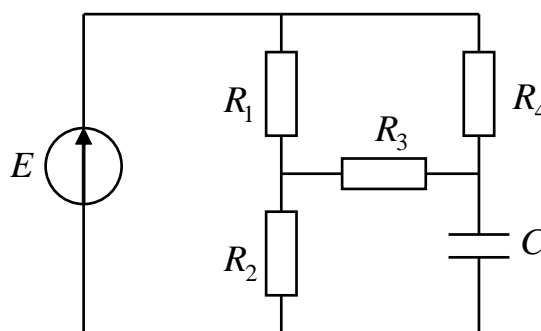


Знайти сили струмів в усіх опорах.

$$R_1 = 2 \text{ Ом}; \quad R_2 = 4 \text{ Ом}; \quad R_3 = 1 \text{ Ом}; \\ E = 2 \text{ В}; \quad r = 1 \text{ Ом}.$$

$$\text{Відповідь: } I_1 = 0,4 \text{ А}; \quad I_2 = 0,2 \text{ А}; \quad I_3 = 0,6 \text{ А}.$$

Конденсатор ємністю C та чотири резистори, опори яких однакові і дорівнюють R , включені у електричне коло, як показано на рисунку. Знайти заряд, накопичений на конденсаторі. Електрорушійна сила джерела дорівнює E .



Підказка. Напряга на конденсаторі дорівнює сумі спадів напруг на опорах R_2 та R_3 . Для визначення спадів напруг U_2 та U_3 треба знайти сили струмів I_2 та I_3 у резисторах. А для визначення струмів доцільно розглянути еквівалентну схему кола, вилучивши вітку з конденсатором (постійний струм через конденсатор не тече, оскільки для постійного струму конденсатор являє собою розрив кола).

$$\text{Відповідь: } q = \frac{4}{5} CE.$$

Металічний диск радіуса $R = 25 \text{ см}$ обертають з постійною кутовою швидкістю $\omega = 130 \text{ рад/с}$ навколо його осі. Знайти різницю потенціалів між центром та ободом диску, якщо

- зовнішнє магнітне поле відсутнє;
- існує перпендикулярне до площини диску зовнішнє магнітне поле з індукцією $B = 5 \text{ мТл}$.

Порівняти результати.

$$\text{Відповідь: а) } \Delta\varphi = \frac{\omega^2 R^2 m}{2e} = 3 \cdot 10^{-9} \text{ В},$$

e та m – заряд та маса електрона;

$$\text{б) } \Delta\varphi = \frac{\omega B R^2}{2} = 20 \cdot 10^{-3} \text{ В}.$$

Рекомендована література

1. ДСТУ 3008-95 (Документація. Звіти у сфері науки і техніки. Структура і правила оформлення).
2. Бабаджан Е.И., Гердвис В.И., Дубовик В.М., Нерсесов Э.А. Сборник качественных вопросов и задач по общей физике. – М.: Наука, 1990. – 400 с.
3. Беликов Б.С. Решение задач по физике. Общие методы. – М.: Высш. шк., 1986. – 256 с.
4. Волькенштейн В.С. Сборник задач по общему курсу физики. – М.: Наука, 1979. – 352 с.
5. Выгодский М.Я. Справочник по высшей математике. – М.: Наука, 1975. – 872 с.
6. Загальний курс фізики: Збірник задач / За заг. редакцією І.П. Гаркуші. – К.: Техніка, 2003. – 560 с.
7. Зачек І.Р., Кравчук І.М., та ін. Курс фізики: навчальний підручник. – Львів: «Бескид Біт», 2002. – 376 с.
8. Інтегрування в фізиці. Частина І. Методичні вказівки до виконання розрахунково-графічних робіт та підготовки до практичних занять з фізики для студентів денної та заочної форми навчання / Укладачі: Григоренко В.А., Єршов Р.Д., Журко В.П., Ушаков В.Г. – Чернігів: ЧДТУ, 2009. – 100 с.
9. Иродов И.Е. Основные законы электромагнетизма. – М.: Высш. шк., 1991. – 288 с.
10. Иродов И.Е. Задачи по общей физике. – М.: Наука, 1979. – 368 с.
11. Калашников С.Г. Электричество. – М.: Наука, 1985. – 576 с.
12. Кучерук І.М., Горбачук І.Т., Луцик П.П. Загальний курс фізики; Навч. посібник для студентів вищих техн. і пед. закладів освіти / За ред. І.М. Кучерука. – К.: Техніка, 1999. Т.2: Електрика і магнетизм. – 2001. – 452 с.
13. Матвеев А.Н. Электричество и магнетизм. – М.: Высш. шк., 1983. – 463 с.
14. Офир Дж. Физика. – М.: Мир, 1981. – Т. 1, 2.
15. Савельев И.В. Курс общей физики. – М.: Наука, 1988. – Т.2. – Электричество и магнетизм. Волны. Оптика. – 496 с.
16. ФИЗИКА: задания к практическим занятиям. /Под ред. Ж.П. Лагутиной. – Мн.: Выш. шк., 1989. – 236 с.
17. Фирганг Е.В. Руководство к решению задач по курсу общей физики. – М.: Высш. шк., 1977. – 352 с.
18. Чертов А.Г., Воробьев А.А. Задачник по физике. – М.: Высш. шк., 1981. – 496 с.

Додаток А – Зразок оформлення титульної сторінки розрахункової роботи

Міністерство освіти і науки України
Чернігівський національний технологічний університет

Кафедра інформаційно-вимірювальних технологій,
метрології та фізики

Розрахунково-графічна робота з фізики

Розділ (назва розділу: механіка; електромагнетизм, ...)

Варіант №....

Виконав: (підпис)
студент групи (дата)
(№ групи) (Прізвище, ініціали студента)

Викладач: (підпис)
..... (дата)
(Прізвище, ініціали викладача)

Чернігів ЧНТУ